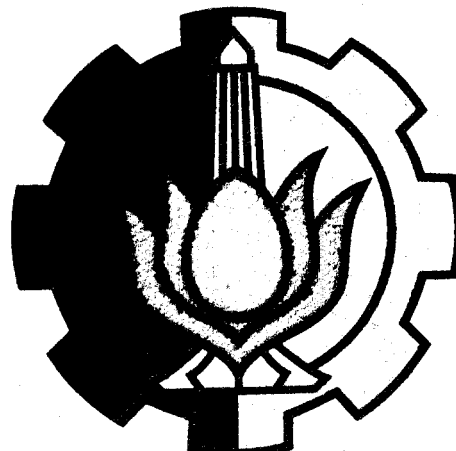


Andari

3100097009210

TUGAS AKHIR
C.N.C.

**ANALISIS
PENGARUH KONDISI PEMOTONGAN
TERHADAP KEKASARAN PERMUKAAN
PADA PROSES PEMBUATAN ALUR
DENGAN MESIN BUBUT CNC**



RSM
620.112.92
Ish
a-1
1996

Oleh :

ROKHMAN ISNGADI
2192 030 044

**PROGRAM STUDI DIPLOMA III TEKNIK MESIN
FAKULTAS TEKNOLOGI INDUSTRI
INSTITUT TEKNOLOGI SEPULUH NOPEMBER
SURABAYA**

1996

PERPUSTAKAAN	I T S
Tgl. Terima	03 MAR 1997
Terima Dari	A
No. Agenda Prp.	6920

**ANALISIS
PENGARUH KONDISI PEMOTONGAN
TERHADAP KEKASARAN PERMUKAAN
PADA PROSES PEMBUATAN ALUR
DENGAN MESIN BUBUT CNC**

TUGAS AKHIR

Diajukan Guna Memenuhi Sebagian Persyaratan
Untuk Menyelesaikan Studi
Program Studi Diploma 3 Teknik Mesin
Fakultas Teknologi Industri
Institut Teknologi Sepuluh Nopember
Surabaya

Mengetahui dan Menyetujui
Dosen Pembimbing
Surabaya, 11 Oktober 1996



Ir. Sugijantono
NIP. 131 618 499

SURABAYA

OKTOBER 1996

ABSTRAKSI

Kualitas suatu benda kerja hasil suatu proses permesinan, termasuk didalamnya mesin CNC, ditentukan oleh beberapa kriteria. Salah satu kriteria tersebut adalah kekasaran permukaan.

Ada beberapa faktor yang berpengaruh terhadap kekasaran permukaan, diantaranya adalah kecepatan pemakanan, kecepatan pemotongan dan waktu tinggal diam. Ketiga faktor inilah yang akan dilihat sejauh mana pengaruhnya terhadap kekasaran permukaan, yang dalam hal ini pada proses pembuatan alur dengan mesin bubut CNC.

Untuk mengetahui pengaruh kondisi pemotongan tersebut terhadap kekasaran permukaan dilakukan percobaan dengan menggunakan mesin bubut CNC EMCOTURN 242-T dengan benda kerja baja AISI 1045 dengan menggunakan pahat insert dari karbida. Kondisi pemotongannya adalah $F = (0.05; 0.062; 0.075) \text{ mm/rev}$; $V = (50; 55; 60) \text{ m/min}$ dan $D_4 = (1, 3; 5) \text{ detik}$.

Analisis data hasil percobaan dan pengukuran dilakukan dengan alat bantu software Statgraf 5.0. Dari hasil analisi didapatkan model persamaan regresi yang menghubungkan antara kondisi pemotongan tersebut dengan kekasaran permukaan. Model persamaan tersebut adalah sebagai berikut :

- untuk permukaan alur :

$$\ln Ra = 12.195 + 1.382 \ln F - 1.388 \ln V - 0.302 \ln D_4$$

- untuk tepi alur :

$$\ln Ra = 9.536 + 1.531 \ln F - 1.162 \ln V + 0.198 \ln D_4$$

Model persamaan regresi tersebut berlaku ideal di dalam dan di sekitar ruang contohnya.

Hasil terbaik dalam percobaan ini adalah :

- untuk permukaan alur dengan nilai $Ra = 1.4 \mu\text{m}$ yaitu pada kondisi $F = 0.05 \text{ mm/rev}$; $V = 60 \text{ m/min}$ dan $D_4 = 5 \text{ detik}$.
- untuk tepi alur dengan nilai $Ra = 1.44 \mu\text{m}$ yaitu pada kondisi $F = 0.05 \text{ mm/rev}$; $V = 60 \text{ m/min}$ dan $D_4 = 1 \text{ detik}$.

KATA PENGANTAR

Tiada yang pantas terucap selain rasa syukur kehadirat Allah SWT atas anugerah, taufik, hidayah dan inayah-Nya dengan terselesaikannya Tugas Akhir ini yang berjudul :

**ANALISIS PENGARUH KONDISI PEMOTONGAN
TERHADAP KEKASARAN PERMUKAAN
PADA PROSES PEMBUATAN ALUR
DENGAN MESIN BUBUT CNC**

Dalam penulisan tugas akhir ini, kami berusaha semaksimal mungkin untuk menguraikan serta menganalisa hal-hal yang beraitan dengan materi Tugas Akhir ini. Tugas Akhir ini merupakan salah satu syarat untuk melengkapi kurikulum pendidikan Program Studi Diploma 3 Teknik Mesin FTI-ITS.

Tak lupa kami ucapkan terima kasih yang sedalam-dalamnya atas nasehat, dorongan, saran dan kritik yang diberikan oleh semua pihak yang telah membantu kelancaran penulisan Tugas Akhir ini, yang diantaranya :

1. Bapak Ir. Sugijanto, selaku dosen pembimbing.
2. Bapak DR.Ir. Soeharto, DEA , selaku Ketua Program Studi D3 Teknik Mesin.
3. Bapak Ir. Edy Widyono, M.Sc., selaku koordinator Tugas Akhir.
4. Bapak Drs. Lilih, selaku Kepala Bengkel CNC di BLPT Surabaya.
5. Bapak Ir. Tarmadji, selaku Kepala Bengkel CNC di BLK Surabaya.

6. Sdr. Wahyu Wibowo, atas bantuannya dalam pengolahan dan penganalisisan data.
7. Seluruh rekan-rekan yang tidak bisa saya sebutkan namanya satu per satu.

Semoga tulisan ini berguna dan bermanfaat bagi semua pihak yang membacanya.

Surabaya, Oktober 1996

Penulis

DAFTAR ISI

HALAMAN JUDUL

LEMBAR PENGESAHAN

ABSTRAKSI

KATA PENGANTAR

DAFTAR ISI

DAFTAR GAMBAR

DAFTAR TABEL

DAFTAR GRAFIK

BAB 1. PENDAHULUAN.....	1
1.1. Latar Belakang.....	1
1.2. Permasalahan.....	2
1.3. Batasan Masalah.....	3
1.4. Tujuan Penelitian.....	4
1.5. Metodologi Penelitian.....	5
1.6. Sistematika Laporan.....	6
BAB 2. TINJAUAN PUSTAKA.....	7
2.1. Elemen Dasar Proses Permesinan.....	7
2.2. Proses Permesinan Mesi Bubut.....	8

2.2.1. Geometri Terbentuknya Geram.....	10
2.2.2. Kondisi Pemotongan.....	12
2.2.3. Material, Elemen dan Umur Pahat.....	14
2.3. Kekasaran Permukaan.....	17
2.4. Dasar-dasar CNC.....	21
2.4.1. Bentuk Cara Pengendalian.....	22
2.4.2. Sistem Koordinat.....	24
2.4.3. Komponen Sistem Kontrol.....	25
2.4.4. Struktur Program.....	26
2.4.5. Ketentuan-ketentuan Sintaksis.....	27
2.4.6. Uraian Singkat Tentang Adres-adres.....	29
2.4.7. Fungsi-fungsi Tetap Berlaku.....	31
2.5. Metode Analisis.....	32
2.5.1. Analisis Variansi Faktorial.....	32
2.5.2. Analisis Regresi.....	37
2.5.2.1. Regresi Linier Multipel.....	38
2.5.2.2. Pengujian Model Regresi.....	39
2.5.2.3. Pengujian Koefisien Regresi.....	40
2.5.2.4. Pengujian Residual.....	41
BAB 3. Metode Dan Hasil Percobaan.....	43
3.1. Rancangan Dasar Percobaan.....	43
3.2. Material Uji.....	43

3.3. Mesin Perkakas.....	44
3.4. Pahat.....	45
3.5. Cairan Pendingin.....	45
3.6. Peralatan Yang Dipergunakan.....	45
3.7. Prosedur Percobaan.....	47
3.7.1. Persiapan 1.....	47
3.7.2. Persiapan 2.....	48
3.7.2.1. Pengecekan Program Manual.....	48
3.7.2.2. Pengecekan Dengan Pengujian Program.....	48
3.7.3. Pelaksanaan Percobaan.....	49
3.8. Prosedur Pengukuran.....	50
3.8.1. Persiapan Pengukuran.....	50
3.8.2. Pelaksanaan Pengukuran.....	50
3.9. Data Hasil Pengukuran.....	52
3.9.1. Permukaan Alur.....	52
3.9.2. Tepi Alur.....	53
BAB 4. ANALISIS DATA DAN PEMBAHASAN.....	54
4.1. Analisis Variansi	61
4.1.1. Untuk Permukaan Alur	61
4.1.2. Untuk Tepi Alur	62
4.2. Analisis Regresi	63
4.2.1. Untuk Permukaan Alur	63

4.2.2. Untuk Tepi Alur.....	64
BAB 5. KESIMPULAN.....	66
PENUTUP.....	67
DAFTAR PUSTAKA	68
LAMPIRAN	70

DAFTAR GAMBAR

1. Proses Membubut	9
2. Pembentukan Continuous Chip	11
3. Penumpukan metal pada ujung pahat potong.....	11
4. Pembentukan discontinuous chip	12
5. Elemen-elemen pahat bubut	16
6. Grafik centerline	19
7. Profil nominal dan terukur	20
8. Surface roughness tester Mitutoyo 301.....	40
9. Material uji	47

DAFTAR TABEL

1. Ringkasan bentuk pengendalian.....	23
2. Analisis Variansi.....	34
3. Tabel Percobaan.....	47
4. Analisis Variansi untuk permukaan alur.....	61
5. Analisis Variansi untuk tepi alur.....	62
6. Analisis Variansi Regresi untuk permukaan alur.....	63
7. Hasil fitting model untuk permukaan alur.....	64
8. Analisis Variansi Regresi untuk tepi alur.....	64
9. Hasil fitting model untuk tepi alur.....	64

DAFTAR GRAFIK

1. Karakteristik Hubungan Antara Kecepatan Pemotongan Dengan Kekasaran Permukaan.....	12
2. Karakteristik Hubungan Antara Kecepatan Pemakanan Dengan Kekasaran Permukaan.....	13
3. Karakteristik Hubungan Antara Kedalaman Pemotongan Dengan Kekasaran Permukaan.....	14
4. Grafik Distribusi Normal Untuk Permukaan Alur.....	55
5. Grafik Distribusi Normal Untuk Tepi Alur.....	56
6. Grafik Identik Untuk Permukaan Alur.....	57
7. Grafik Identik Untuk Tepi Alur.....	58
8. Grafik Independen Untuk.....	59
9. Grafik Independen Untuk	60

BAB 1

PENDAHULUAN

1.1. Latar Belakang

Dewasa ini perkembangan teknologi demikian pesatnya seiring dengan percepatan perkembangan di dunia informasi. Demikian pula dalam bidang teknologi permesinan dan produksi yang secara langsung maupun tidak langsung mendapat imbas dari percepatan tersebut.

Proses permesinan mengalami kemajuan yang sangat pesat seiring dengan kemajuan dalam bidang kontrol pengendali yang berbasis komputer. Diawali dari pemanfaatan kontrol numerik (Numerical Control, NC), pada mesin-mesin perkakas yang kemudian penggunaan komputer sebagai pengendali sistem kontrol numerik , yang dikenal dengan CNC (Computerized Numerical Control). Dengan sistem ini operator dapat mengendalikan seluruh gerakan seperti putaran poros utama, pemilihan pahat, pembuatan kontur-kontur yang rumit, pengontrol masukan pendingin dan semua gerakan yang mendukung suatu gerakan dalam satu rangkaian proses. Hal tersebut merupakan salah satu jawaban atas tuntutan masalah ketelitian, ketepatan kerja, efisiensi dan kualitas produk yang dihasilkan.

Banyak sekali keuntungan yang didapat dari CNC ini pada proses manufaktur, namun demikian pengadaannya bukanlah suatu hal yang murah.

Mahalnya investasi, ongkos operasi dan perawatan menyebabkan pemakaiannya harus seefisien dan seoptimal mungkin. Tanpa pemakaian secara efisien dan optimal kelebihan yang dimiliki CNC dibanding mesin konvensional tidak akan didapatkan, baik secara ekonomis maupun teknis. Oleh karena itu diperlukan penelitian dan pengembangan dari CNC ini agar semakin efisien dan optimal.

Salah satu dari mesin-mesin CNC tersebut adalah mesin bubut CNC. Proses permesinan dengan mesin bubut merupakan proses yang paling banyak dijumpai pada industri manufaktur yang menghasilkan produk yang mempunyai bentuk dan profil yang bervariasi.

Diantara proses yang dapat dilakukan pada mesin bubut CNC, sebagaimana pada mesin bubut konvensional, adalah proses pembuatan alur. Dalam proses pembuatan alur, sebagaimana proses-proses yang lain, diperlukan suatu kondisi yang optimal sehingga proses tersebut dapat menghasilkan produk yang memiliki kualitas yang optimal pula. Oleh karena itu dalam tugas akhir ini penulis mencoba meneliti seberapa besar pengaruh kondisi pemotongan terhadap kualitas produk pada proses pembuatan alur.

1.2. Permasalahan

Kualitas kekasaran permukaan dari produk yang dihasilkan suatu proses permesinan berpengaruh terhadap sifat-sifat produk tersebut.^[3] Untuk mempertahankan sifat-sifat tersebut diperlukan peningkatan kualitas

permukaan dan tidak jarang diperlukan proses lanjut (finishing) sehingga mengakibatkan biaya produksi meningkat. Kualitas permukaan suatu produk permesinan dipengaruhi oleh beberapa faktor, diantaranya adalah kondisi pemotongan.

Dalam penelitian ini penulis ingin mengetahui pengaruh kondisi pemotongan, dalam hal ini kecepatan makan, kecepatan potong dan waktu tinggal diam, pada proses pembuatan alur pada baja dengan menggunakan mesin bubut CNC, terhadap kualitas produk yang dalam hal ini adalah kekasaran permukaan. Sehingga diharapkan didapatkan informasi berupa data teknis hubungan antara kondisi pemotongan tersebut dengan kekasaran permukaan sebagai dasar untuk menentukan dan mengoptimasikan kondisi pemotongan untuk mendapatkan kekasaran permukaan yang diinginkan.

1.3. Batasan Masalah

1. Selama proses perautan, pahat diasumsikan tidak terjadi keausan.
 2. Selama proses perautan, kenaikan temperatur tidak mempengaruhi ketajaman pahat sehingga tidak berpengaruh terhadap kekasaran permukaan yang dianalisis
 3. Kondisi mesin bubut diasumsikan dalam keadaan baik, tidak mengalami penyimpangan.
 4. Alat ukur yang digunakan dalam kondisi terkalibrasi dengan baik.
 5. Getaran dan defleksi selama perautan diasumsikan tereliminir sehingga
-

tidak berpengaruh terhadap kondisi dalam penganalisisan kekasaran permukaan.

6. Benda kerja diasumsikan uniform.
7. Penganalisisan hanya sebatas pengaruh kondisi pemotongan terhadap kekasaran permukaan.

1.4. Tujuan Penelitian

Pada penelitian ini penulis ingin menjelaskan beberapa hal yang menjadi tujuan utama, yaitu :

1. Mengembangkan ilmu pengetahuan dan teknologi khususnya tentang teknologi permesinan dan pengukuran.
 2. Memperoleh data-data teknis yang akurat dalam bidang teknik perautan terutama pada mesin bubut CNC, khususnya masalah hubungan kondisi pemotongan dengan kekasaran permukaan pada proses pembuatan alur.
 3. Mengetahui seberapa besar pengaruh kondisi pemotongan dan seberapa besar kondisi pemotongan dapat divariabelkan untuk memperoleh angka kualitas kekasaran permukaan yang dikehendaki dan memperkecil penyimpangan.
 4. Mengetahui kondisi pemotongan yang paling optimal untuk menghasilkan kekasaran permukaan yang terbaik.
-

1.5. Metodologi Penelitian

1. Studi Literatur.

Mempelajari, mengumpulkan dan menyusun data-data serta melakukan pendekatan masalah dengan menggunakan literatur yang mendasari laporan Tugas Akhir.

2. Percobaan

Pada percobaan ini terlebih dahulu dipersiapkan material, bahan potong, mesin perkakas, kemudian dilakukan proses perautan

3. Pengujian

Pengujian ini berupa pengujian kekasaran permukaan dengan menggunakan Surface Tester Mitutoyo 301.

4. Pengumpulan Data

Setelah percobaan dan pengujian selesai dilakukan maka dilakukan pengumpulan data-data agar memudahkan dalam penganalisisan.

5. Analisis Data

Data-data yang telah terkumpul selanjutnya dianalisis dengan software Statgraf 5.0 serta didasari teori yang mendukung sehingga memenuhi tujuan percobaan.

6. Kesimpulan

Menyimpulkan hasil analisis.

1.6. Sistematika Penulisan

BAB I Pendahuluan

BAB II Tinjauan Pustaka

BAB III Metode dan Hasil Percobaan

BAB IV Analisis Data dan Pembahasan

BAB V Kesimpulan

BAB 2

TINJAUAN PUSTAKA

2.1. Elemen Dasar Proses Permesinan

Proses permesinan untuk mendapatkan produk yang diharapkan dilakukan dengan jalan meraut untuk membuang sebagian material benda kerja sampai didapatkan ukuran obyektif yang telah ditentukan. Proses pembuangan sebagian material dengan proses permesinan berawal dari adanya titik kontak antara benda kerja dengan pahat potong, sehingga gaya pemotongan yang dihasilkan dari putaran spindel menimbulkan bidang geseran antara bidang pahat potong dengan benda kerja yang pada akhirnya timbul gerak, serta adanya interaksi antara empat elemen seperti pahat potong, pemegang pahat, pemegang benda kerja dan benda kerja itu sendiri sebagai obyek dalam proses permesinan.

Untuk mendukung proses tersebut perlu ditinjau aspek teknologi agar didapatkan efisiensi, ketelitian, ketepatan dan kualitas yang tinggi. Selain itu setiap perencanaan proses permesinan juga perlu mengetahui elemen dasar proses permesinan yang dihitung berdasarkan dimensi benda kerja dan atau pahat serta besaran dari mesin perkakas.

Elemen dasar proses permesinan tersebut meliputi :

- | | |
|-------------------------------------|---------------|
| 1. Kecepatan potong (cutting speed) | : V (m/min) |
|-------------------------------------|---------------|

2. Kecepatan pemakanan (feeding speed)	V_f (mm/min)
3. Kedalaman pemotongan (depth of cut)	a (mm)
4. Waktu pemotongan (cutting time)	t_c (min)
5. Kecepatan penghasilan geram (rate of metal removal)	z (cm ³ /min)

2.2. Proses Permesinan Mesin Bubut

Proses permesinan dengan mesin bubut merupakan proses permesinan yang paling banyak dijumpai di industri manufaktur dengan menghasilkan produk yang mempunyai bentuk dan profil yang bervariasi. Pada prinsipnya untuk menghasilkan komponen dengan bentuk dan profil yang bervariasi tersebut melalui proses permesinan mesin bubut, diperlukan dua gerakan utama meliputi :

1. Gerak potong (cutting motion), dengan arah gerakan berputar searah jarum jam maupun berlawanan, yang dilakukan oleh benda kerja akibat berputarnya poros utama atau spindel.
2. Gerak pemakanan (feed motion), dengan arah gerakan lurus searah sumbu mesin atau arah X dan Z yang dilakukan oleh pahat potong akibat dari bergesernya kereta dan apron (carriage and apron) dan peluncur silang (cross slide).

Elemen dasar dari proses turning dapat diketahui dan dihitung dengan menggunakan rumus-rumus yang diturunkan dari gambar 1. kondisi pemotongan ditentukan sebagai berikut :

1. Benda kerja

d_0 = diameter mula ; mm

d_m = diameter akhir ; mm

l_t = panjang pemotongan ; mm

2. Pahat potong :

K_r = sudut potong utama ; °

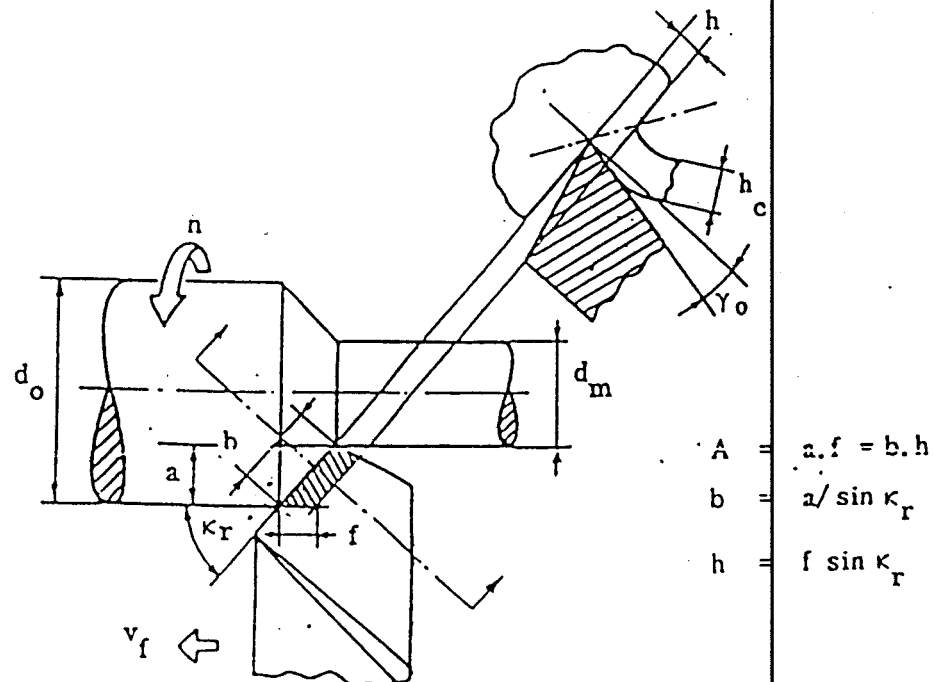
γ_0 = sudut geram ; °

3. Mesin bubut

a = kedalaman pemotongan = $(d_0 - d_m) / 2$; mm

f = gerak makan ; mm/rev

n = putaran poros utama ; rev/min



Gb. 1. Proses membubut ^{LHJ}

Elemen dasar proses bubut dapat diketahui dan dihitung dengan rumus-rumus berikut :

1. Kecepatan pemotongan $V = \frac{\pi d.n}{1000}$ m/min , dimana d = diameter rata-rata

$$= (d_o + d_m) \text{ mm}$$

2. Kecepatan pemakanan $V_f = f.n \text{ mm/min}$

3. Daya pemotongan $H_p = \frac{V.K.a.f}{75.60} \text{ Hp}$

dimana K = cutting resistance kg/mm²

4. Waktu pemotongan $t_c = l_t / V_f$

5. Kecepatan pembuangan geram $Z = A.V$

dimana A = penampang awal geram = $f.a \text{ mm}^2$

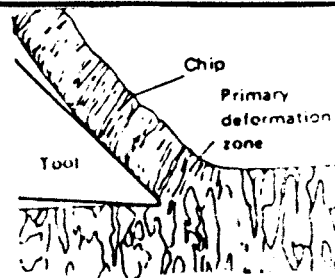
maka $Z = f.a.V \text{ cm}^3/\text{min}$

2.2.1. Geometri Terbentuknya Geram

Dalam proses permesinan terbentuknya geram dapat diklasifikasikan menjadi tiga, yaitu :

1. Continuous Chip.

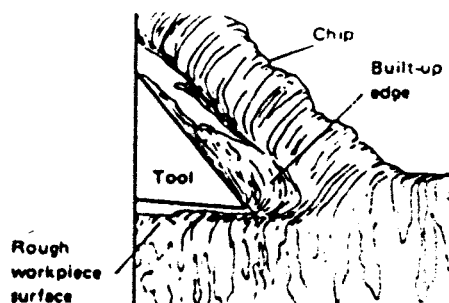
Geram tipe ini terbentuk oleh proses permesinan pada material yang ulet (ductile) dan pada kecepatan potong yang tinggi serta kecepatan pemakanan yang lambat. Biasnya tipe geram ini menghasilkan kualitas permukaan akhir / lebih halus, umumnya geram ini ikut bersama-sama pahat yang kemudian terpisah, tetapi geramnya sendiri terus bersambung membentuk gulungan geram panjang berbentuk spiral atau lurus panjang.

Gb. 2 Pembentukan continuous chip^[1]

2. Continuous Chip dengan Built Up Edge (BUE)

Geram tipe ini terbentuk oleh proses permesinan pada material yang塑性 (ductile) dengan kecepatan pemotongan rendah dengan aliran metal yang kurang teratur serta daya adhesi atau afinitas antara material benda kerja dan pahat cukup kuat sehingga terbentuk penumpukan lapisan material benda kerja pada bidang geram di daerah dekat mata potong pahat.

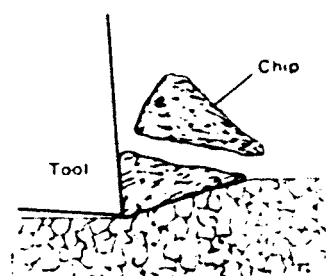
Built up edge ini menyebabkan permukaan hasil proses permesinan (surface finish) menjadi lebih kasar, dan hal ini dapat dihilangkan dengan menaikkan kecepatan potong sekitar 20 - 30 m/min, dapat juga lebih rendah atau lebih tinggi dari harga tersebut tergantung dari gerak pemakanan dan afinitas antara pahat dengan geram.

Gb. 3. Penumpukan metal chip pada mata potong^[1]

3. Discontinuous Chip

Geram tipe ini terbentuk oleh proses permesinan pada material yang rapuh (brittle material) seperti gray cast iron. Bentuk geram ini adalah

terputus-putus dimana segmen-segmennya tidak terikat satu dengan yang lainnya, hal ini disebabkan oleh distorsi pada bagian logam yang berdekatan dengan pahat menghasilkan retak dan terlempar dari pahat akibat struktur material brittle yang tidak kontinu. Dalam hal ini kekasaran hasil permesinan tergantung pada ukuran chip, semakin besar chip semakin kasar permukaan, begitu pula sebaliknya.

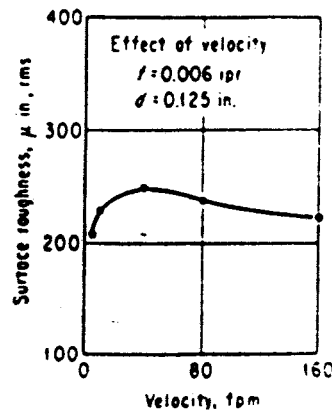


Gb. 4. Pembentukan discontinuous chip^[1]

2.2.2. Kondisi Pemotongan

2.2.2.1. Kecepatan Pemotongan

Karakteristik hubungan antara kondisi permukaan dengan kecepatan ditunjukkan pada grafik berikut.



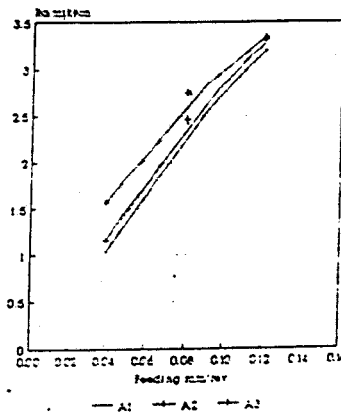
Grafik 1. Karakteristik hubungan antara kecepatan potong dan kekasaran permukaan (material benda kerja AISI 1020)^[5]

Terlihat pada grafik tersebut bahwa pada kecepatan pemotongan rendah kekasaran permukaan bertambah besar dikarenakan pada kondisi tersebut

mudah sekali terbentuk geram dengan Built Up Edge dan ini berangsur-angsur turun dan mencapai kondisi stabil pada kecepatan pemotongan tinggi karena BUE pada kondisi ini berangsur-angsur hilang.

2.2.2.2. Kecepatan Pemakanan

Karakteristik hubungan antara kekasaran permukaan dengan kecepatan pemakanan ditunjukkan pada grafik berikut.



Grafik 2. Karakteristik hubungan antara feeding dan kekasaran permukaan
(material benda kerja AISI 1045) [13]

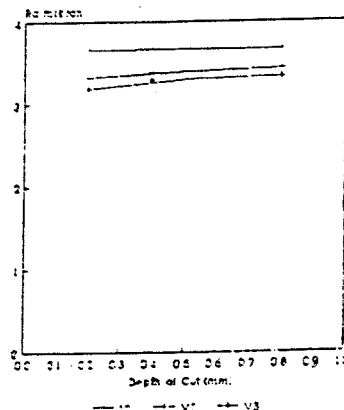
Dari grafik di atas dapat dimengerti bahwa kenaikan kekasaran permukaan sebanding dengan kenaikan kecepatan pemakanan.

2.2.2.3. Kedalaman Pemotongan

Karakteristik hubungan antara kekasaran permukaan dengan kedalaman pemotongan ditunjukkan pada grafik 3.

Terlihat bahwa kenaikan kedalaman pemotongan hanya sedikit mempengaruhi kekasaran permukaan. Pada penelitian ini kedalaman

pemotongan tidak dijadikan variabel yang diperhitungkan karena dalam proses grooving kedalaman pemotongan berubah secara periodik.



Grafik 3. Karakteristik hubungan antara kedalaman pemotongan dan kekasaran permukaan
(material benda kerja AISI 1045)^[13]

2.2.3. Material, Elemen Dan Umur Pahat

2.2.3.1. Material Pahat

Selama proses pembentukan geram, pahat mengalami tekanan dan temperatur yang tinggi. Gesekan antara geram dengan pahat menyebabkan keausan pada bidang muka dan bidang potong utama pahat hingga mengubah bentuk mata potong pahat yang akhirnya menimbulkan gaya-gaya pemotongan yang besar sehingga mempengaruhi kualitas permukaan benda kerja. Suatu pahat dikatakan telah mengalami batas umur apabila batasan-batasan seperti kehalusan permukaan, toleransi dimensi dan gaya pemotongan terlampaui.

Untuk memperpanjang umur pahat, maka material pahat harus memiliki sifat-sifat sebagai berikut :

1. Cukup kuat dan keras menahan tekanan tinggi akan tetapi tidak boleh

- terlalu rapuh.
2. Kekuatan dan kekerasannya harus tetap tinggi walaupun temperatur pemotongan tinggi.
 3. Pada temperatur tinggi daya tahan keausannya harus tetap baik.

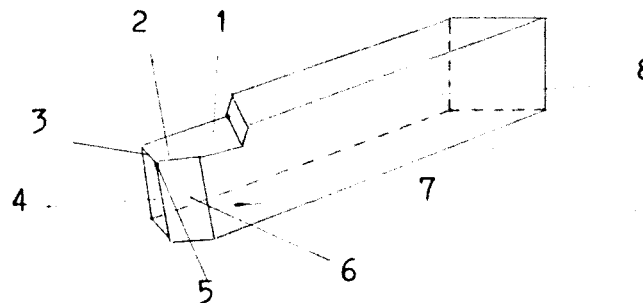
Beberapa material pahat yang dikenal pada dunia industri permesinan :

1. Baja karbon (Carbon Steel)
2. Baja karbon campuran (Alloyed Carbon Steel)
3. High Speed Steel (HSS)
4. Cast Cobalt Base Steel
5. Cemented Carbide
6. Ceramic
7. Diamond Tools.

Diantara ketujuh macam material pahat di atas yang paling banyak dijumpai dan paling sering digunakan adalah material pahat dari High Speed Steel dan Cemented Carbide.

2.2.3.2. Elemen Pahat

Bagian-bagian pahat bubut dijelaskan pada gambar 4.



Gb. 5. Elemen-elemen pahat bubut^[9]

Keterangan gambar :

- | | |
|----------------------|---------------|
| 1. Face | 5. Nose |
| 2. Side cutting edge | 6. Side flank |
| 3. End cutting edge | 7. Front end |
| 4. End flank | 8. Flank |

Pada pahat tipe insert bagian nose di atas berupa insert.

2.2.3.3. Umur Pahat

Kriteria umur pahat ditinjau dari pertumbuhan keausan atau kerusakan mata potong pahat hingga menyebabkan kenaikan gaya pemotongan yang pada akhirnya berpengaruh pada :

1. Getaran / chatter pada benda kerja dan mesin perkakas.
2. Perubahan temperatur pemotongan.

3. Perubahan dimensi / geometri benda kerja.
4. Perubahan kualitas permukaan benda kerja.
5. Kerusakan seluruh pahat.

Penentuan umur pahat secara praktis ditentukan dengan cara membandingkan hasil pengukuran dimensi benda kerja yang dihasilkan dengan dimensi obyektif yang ditentukan dalam batas-batas toleransi yang tertentu pula, atau dengan melihat perubahan nilai yang ditunjukkan pada wattmeter (korelasi antara gaya pemotongan dan daya pemotongan). Dimulai dari pahat baru sampai pahat tersebut tidak dapat digunakan lagi ditinjau dari adanya penyimpangan dimensi obyektif yang ditentukan (dimensinya telah melampaui batas-batas toleransi yang ditentukan).

Dimensi umur pahat dapat merupakan besaran waktu (menit), jumlah gerak yang dihasilkan (cm^3), panjang total permesinan (mm), atau jumlah produk yang dihasilkan.

2.3. Kekasaratan Permukaan

Kekasaratan permukaan suatu produk permesinan merupakan salah satu faktor yang dapat digunakan sebagai acuan untuk menentukan kualitas suatu proses permesinan. Untuk menyatakan kualitas kekasaran permukaan ini perlu dilakukan pengukuran kekasaran permukaan. Pengukuran permukaan didefinisikan sebagai pengukuran terhadap perbedaan antara kondisi permukaan aktual dengan kondisi permukaan yang dikehendaki.

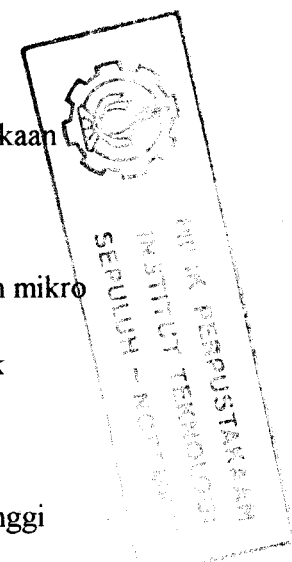
Terdapat perbedaan mendasar antara pengukuran permukaan dengan pengukuran panjang . Pengukuran panjang berkaitan dengan hubungan antara dua permukaan pada sebuah benda kerja, sedangkan pengukuran permukaan berkaitan dengan hubungan antara sebuah permukaan dengan suatu referensi .^[9]

Ada beberapa metode pengukuran permukaan, diantaranya adalah :

1. Metode pembanding dengan spesimen standar kekasaran permukaan secara subjektif.
2. Metode optik, didasarkan pada metode perpotongan cahaya dan mikro interferometer, yang menggunakan pemantulan sinar laser untuk menentukan tekstur permukaan.
3. Metode profilograf (microprofil), didasarkan pada penentuan tinggi ketidakraturan mikro dengan perabaan ujung stylus.

Pada umumnya kekasaran permukaan hasil proses permesinan dinyatakan dengan angka kelas kekasaran permukaan sesuai panjang sampel yang diukur. Terdapat beberapa cara untuk menyatakan angka kelas kekasaran permukaan, tetapi yang paling sering digunakan adalah *Roughness Average (Ra)* yang juga biasa disebut sebagai *arithmetic average (AA)* atau *centerline average (CLA)*.

Roughness average didefinisikan sebagai rata-rata aritmetik dari nilai-nilai absolut penyimpangan tinggi profil terukur yang diambil sepanjang *sample length* (panjang sampel) dan diukur dari *graphical centerline* . Untuk



penentuan grafik rata-rata kekasaran, penyimpangan tinggi diukur normal terhadap chart centerline. Kekasaran rata-rata dinyatakan dalam mikrometer.

Berikut ini beberapa istilah dan pengertiannya yang berkaitan dengan pengukuran kekasaran permukaan.

- *Surface* (permukaan) suatu obyek adalah batas yang memisahkan obyek tersebut dari obyek lain.
- *Nominal Surface* adalah kontur dan bentuk permukaan yang dikehendaki yang biasanya ditunjukkan pada gambar atau spesifikasi deskriptif. Selanjutnya profil dari nominal surface disebut sebagai *nominal profile*.
- *Measured Surface* adalah representasi dari permukaan yang didapatkan dengan suatu alat ukur. Selanjutnya profil dari measured surface disebut sebagai *measured profil*.
- *Graphical Centerline* adalah suatu garis dimana kekasaran diukur mengacu padanya dan paralel terhadap arah umum profil sepanjang sampling length.
- *Sampling length* adalah jarak nominal penentuan karakteristik permukaan.

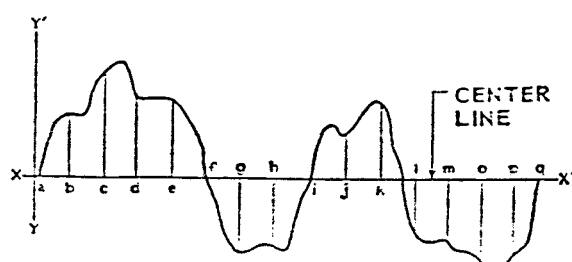
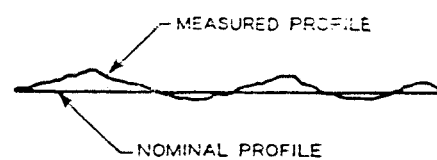


Fig. 3. Short section of hypometrical profile divided into increments.

Gb. 6. Grafik centerline [8]



Gb. 7. Profil nominal dan terukur

2.4. Dasar-dasar CNC

Kontrol numerik adalah istilah yang digunakan untuk menjelaskan kontrol gerakan mesin dan berbagai fungsi lainnya yang menggunakan instruksi yang dinyatakan dalam satu seri bilangan dan dikendalikan oleh sistem kontrol elektronika. Istilah CNC digunakan bila sistem kontrol memakai komputer internal. Komputer internal memungkinkan penyimpanan program tambahan, penyuntingan program, eksekusi dari memori; diagnostik kontrol dan pemeriksaan rutin, pekerjaan rutin dan khusus, dan kemampuan perubahan skala inci, metrik atau absolut.

Dengan sistem kontrol ini banyak keuntungan yang diberikan CNC dalam proses permesinan. Keuntungan-keuntungan tersebut diantaranya :

1. Laju produksi yang tinggi.
2. Keseragaman produk.
3. Pemborosan komponen dapat dikurangi.
4. Tooling dapat dikurangi.
5. Campur tangan operator secara langsung dikurangi.
6. Mampu mengerjakan bentuk-bentuk sulit.

Disamping keuntungan tentunya terdapat kerugian yang dimiliki mesin berkontrol komputer ini, diantaranya yaitu :

1. Investasi yang besar.
 2. Waktu persiapan produksi yang lama.
 3. Kurang fleksibel, maksudnya satu program hanya untuk satu macam
-

proses produksi.

2.4.1. Bentuk Cara Pengendalian

1. Pengendalian titik

Pemosisian gerakan atau langkah cepat ke arah titik yang telah ditentukan. Saat proses pemosisian berjalan, pahat tidak boleh bersentuhan atau menabrak benda kerja karena akan mengakibatkan kerusakan. Bentuk pengendalian seperti ini terdapat pada bor dan las titik.

2. Pengendalian garis

Proses pengendalian gerakan untuk membuat suatu alur lurus baik sejajar sumbu maupun tegak lurus sumbu. Kecepatan gerakan pada saat proses harus ditentukan dulu agar tidak terjadi rusak pahat, benda kerja atau yang lain. Contoh pengendalian tipe ini pada mesin frais dan las potong.

3. Pengendalian kontur

Pengendalian ini digunakan untuk membuat sebarang bentuk baik lurus maupun lengkung menuju ke segala arah yang dikehendaki.

a. Pengendalian 2D

Mekanisme pengendalian berlaku untuk dua poros yang terkoordinasi sehingga terbentuk suatu alur lurus atau melingkar dalam bidang 2 dimensi. Contoh : mesin bubut.

b. Pengendalian 2.5 D

Mekanisme pengendalian untuk membuat alur.

Baik alur lurus atau melingkar dalam bidang XY-XZ atau YZ diikuti gerakan pahat pada sumbu yang lain. Contoh : mesin frais.

c. Pengendalian 3D

Mekanisme pengendalian ini untuk mengerjakan kontur ruang 3 dimensi dengan cara mengegerakkan 3 sumbu secara terkoordinir.

	Bentuk pengendalian	Tanda manganal	Penggunaan
	pengendalian titik	memosisikan	mesin ber, mesin las listrik
	pengendalian garis	hanya memung- kinkan peminda- han poros para- lel; permulaan mengendalikan dalam satu poros persamaan	mesin frais dan bubut sederha- na
	pengendalian 2D	permulaan se- rempak dalam dua arah poros dikoordinir cara mengendalikan	mesin bubut
	pengendalian 2,5D	mengefrais da- lam dua arah po- ros bersamaan; bidang XY bidang XZ bidang YZ	mesin frais
	pengendalian 3D	mengefrais dalam tiga arah: 2 poros lingkaran dan satu poros linier	pusat penger- jaan

Tabel 1. Ringkasan bentuk pengendalian [6]

2.4.2. Sistem koordinat mesin NC/CNC

Sumbu arah gerakan pada mesin perkakas NC/CNC distandardkan pada ISO 841 dengan judul "*Numerical Control of Machine, Axis and Motion Nomenclature*", supaya mampu tukar dari suatu program dapat dijamin, program dapat dimengerti tanpa ada salah pengertian arah gerakan. Standar ISO 841 mendefinisikan sistem koordinat kartesian bagi gerakan pahat dalam 3 sumbu utama X, Y, Z dan sumbu rotasi A, B, C. Pada mesin bubut hanya dipakai 2 sumbu X dan Z tanpa sumbu rotasi. Arah gerakan translasi positif mengikuti kaidah tangan kanan dan putaran positif mengikuti kaidah sekrup ulir kanan.

Penentuan masing-masing sumbu adalah sebagai berikut :

- Penentuan sumbu Z.

Sumbu Z direferensikan pada poros utama atau spindel, arah positif adalah bila jarak antara spindel dan pahat menjauh.

- Penentuan sumbu X.

Sumbu X ditentukan sejajar dengan meja mesin dan dipilih orientasi horisontal.

- Penentuan sumbu Y.

Sumbu Y ditentukan dengan kaidah tangan kanan.

- Penentuan sumbu rotasi A.

Sumbu rotasi A adalah sumbu rotasi dengan sumbu X sebagai pusat rotasinya.

- Penentuan sumbu rotasi B.

Sumbu rotasi B adalah sumbu rotasi dengan sumbu Y sebagai pusat rotasinya.

- Penentuan sumbu rotasi C.

Sumbu rotasi C adalah sumbu rotasi dengan sumbu Z sebagai pusat rotasinya.^[14]

2.4.3. Komponen Sistem Kontrol CNC

Sistem CNC terdiri dari komponen-komponen yang mensinkronkan antara operator dengan mesin perkakas. Di dalam sistem CNC terdapat komputer yang berfungsi sebagai pengolah data yang dapat melakukan perhitungan dan hubungan logika. Karena sistem CNC adalah elemen penghubung antara operator dengan mesin perkakas maka diperlukan 2 interface, yaitu :

1. Interface untuk operator.

Interface ini terdiri dari panel kontrol, pembaca pita berlubang (punched tape reader), unit magnetik (magnetic tape unit), unit disket dan printer.

2. Interface untuk mesin perkakas.

Interface ini terutama terdiri dari kontrol interface, pengontrol gerakan sumbu (axis control), dan sumber daya (power supply).^[14]

2.4.4. Struktur Program

Struktur program mesin CNC diatur menurut DIN 66025 dan ISO

1056. Suatu program NC berisi semua perintah dan informasi yang diperlukan untuk penggeraan benda kerja. Suatu program terdiri atas : awal program, isi program dan akhir program. Untuk selanjutnya uraian tentang program-program berikut adalah untuk mesin bubut.

Program-program NC sendiri ada tiga macam, yaitu :

1. Program pokok

Program pokok terdiri dari

- Awal program : awal program adalah nomor program yang ditetapkan dengan huruf O. Untuk nomor program pokok ini ditentukan dari O 0000 sampai O 6999.

- Isi program : isi program berupa blok-blok program NC.

- Akhir program : untuk program pokok diakhiri dengan M 30.

2. Sub program (sub routine)

- Awal program : sama dengan program pokok dan ditentukan dari O 80 sampai O 0255.

- Isi program : berupa blok-blok program NC

- Akhir program : untuk sub program diakhiri dengan M 17.

3. Program polygon

Nomor-nomor program untuk program polygon adalah dari O 7000 sampai O 9999. Program polygon adalah untuk simulasi grafis dari kedua program tersebut.

Suatu blok terdiri atas nomor blok dan kata-kata. Nomor blok diawali dengan adres N dan diikuti dengan angka dari N 0000 sampai N 9999. Dalam penomoran blok-blok adalah bermanfaat untuk menomori blok-blok program dalam penambahan sepuluh, hingga memungkinkan penyisipan blok-blok lain apabila diperlukan perbaikan dalam program tersebut, tanpa mempengaruhi blok-blok lain selama pemasukan. Penyisipan ini akan diurutkan secara otomatis oleh pengendali.

Selain nomor blok, suatu blok juga terdiri dari kata-kata. Kata terdiri atas satu huruf (adres) dan kombinasi angka. Setiap adres punya arti tertentu, menurut harga gabungan numeris yang sesuai.^[7]

2.4.5. Ketentuan-ketentuan Sintaksis

Dalam penulisan blok-blok program ada beberapa ketentuan yang harus diikuti berupa ketentuan-ketentuan sintaksis.

1. Panjang blok :

Panjang blok maksimal dapat bervariasi antara 3 dan 4 baris tergantung pada kata-kata yang diprogram. Apabila panjang blok maksimal terlampaui akan muncul alarm.

2. Ketentuan urutan kata-kata :

Selain dari urutan X (U), Z(W) dalam siklus G 84, G 85 dan G 86 tidak ada ketentuan mutlak tentang urutan kata. Namun, untuk memperoleh struktur program yang jelas, urutan-urutan berikut perlu diperhatikan :

- Setiap blok dimulai dengan nomor blok
- Fungsi G diprogram setelah nomor blok
- Kata-kata untuk koordinat X (U), Z (W) tidak boleh terbalik dalam siklus G 84, G 85 dan G 86
- Jika diprogram G 02 atau G 03 parameter interpolasi I dan K diprogram setelah X (U), Z (W)
- Jika diprogram siklus, parameter diprogram setelah X (U), Z(W)
- Kemudian berturut-turut F (kisar ulir), S (kecepatan sumbu utama, kecepatang potong), T (adres alat potong) dan M (fungsi tambahan).

3. Beberapa fungsi M dan G dari kelompok yang sama

Jika dua atau lebih fungsi G atau M dari kelompok yang sama dari satu blok fungsi yang diprogram yang terakhir yang efektif.

4. Kata-kata yang sama dari satu blok selain dari M dan G

Yang berlaku yang dimasukkan yang terakhir.

5. Pemrograman titik desimal

Harga-haraga X, Z, U, W, P_0 , P_2 , I, K harus diprogram dengan titik desimal, tanpa titik desimal harga-harga akan dianggap sebagai mikronmeter (pada G 71) atau 1/1000 in (pada G 70).^[7]

2.4.6. Uraian Singkat Tentang Adres-adres

1. Adres jalannya X (U) dan Z (W)

Titik tujuan dalam sistem koordinat absolut ditetapkan dengan X dan Z sedang untuk inkremental diberikan dengan U dan W. Sistem koordinat aslinya adalah M (titik nol mesin) atau W (titik nol benda kerja) yang ditentukan dalam PSO (position shift offset).

2. Adres I dan K

I dan K adalah parameter interpolasi untuk pemrograman busur lingkaran G 02 dan G 03.

3. Asutan F

- F dalam hubungannya dengan G 94 asutan diprogram sebagai kecepatan asutan dalam mm/menit (inchi/menit).
- F dalam hubungannya dengan G 95 asutan ditetapkan dalam mm/putaran atau inchi/putaran.
- F dalam hubungannya dengan G 33 dan G 85, adres F berlaku sebagai kisar ulir dalam mm dan inchi.

4. Adres S

- S dalam hubungannya dengan G 96, merupakan kecepatan potong yang diprogram dalam mm/menit atau inchi/menit.
 - S dalam hubungannya dengan G 97, merupakan kecepatan putaran sumbu utama yang diprogram dalam putaran/ menit.
 - S dalam blok G 92, sebagai batas kecepatan sumbu utama tertinggi.
-

- S dalam blok M 19, sebagai program posisi berhenti dari sumbu utama.

5. Adres T

Dengan kata T, alat potong (posisi revolver pahat) dan data pahat dipanggil.

6. Adres M

Dengan M, fungsi pemindah atau fungsi-fungsi lain dipanggil.

7. Adres L

- Dengan L, sub program dipanggil, pengulangan program dan lompatan tujuan ditetapkan.

- L dalam pencatat pahat, dengan L dituliskan posisi potong dari pahat.

8. Adres R

Pada R dituliskan radius ujung pahat.

9. Parameter P dan D

Jenis pelaksanan khusus dalam siklus diprogram dengan parameter P dan D.

10. Fungsi G

Persyaratan jalannya, dipanggil dengan G.

11. Adres O

Adres O ditetapkan untuk nomor-nomor program NC. Nomor program ini dipakai sebagai tanda pengenal, misal dari program yang tersimpan dari kaset dan sebagai tanda awal program.

12. Memori data-data potong

Data alat potong dimasukkan secara inkremental ke dalam memori alat potong dengan adres X dan Z.

13. Pencatat penggeseran posisi (position shift offset, PSO)

- Masukan langsung inkremental dalam pencatat penggeseran posisi dengan X (ukuran radius) dan Z.
- Penulisan untuk pencatat penggeseran posisi 5 dalam blok G 92. Ukuran penggeserannya ditentukan secara inkremental dengan X (ukuran radius) dan Z.^[7]

2.4.7. Fungsi-fungsi Tetap Berlaku

Sebagian besar fungsi G dan M dan juga kata-kata lain adalah fungsi tetap berlaku. Itu berarti mereka tetap aktif sampai dialihkan atau dibatalkan. Ini berarti suatu penyederhanaan atau pemendekan untuk pemrograman.

Fungsi-fungsi tersebut tetap berlaku baik di dalam suatu program dari blok satu ke blok berikutnya maupun dari suatu program ke program berikutnya. Khusus untuk pengambilalihan fungsi dan kata-kata dari satu program ke program berikutnya tidak berlaku untuk fungsi-fungsi pada kelompok 0. Uraian lebih jelasnya adalah sebagai berikut :

1. Fungsi-fungsi G dan M

Fungsi-fungsi G dan M dibagi dalam kelompok-kelompok. Fungsi-fungsi G dan M tetap berlaku sampai mereka ditimpa oleh fungsi G atau M lain dari kelompok yang sama. Beberapa fungsi G dan M dapat dibatalkan secara langsung, yaitu :

- G 54, G 55 dibatalkan langsung dengan G 53
- G 57, G 58, G 59 dibatalkan dengan G 56
- G 41, G 42 harus dibatalkan dengan G 40
- M 30 secara otomatis menyebabkan program berakhir dan berfungsinya M 05 (sumbu utama berhenti), M 09 (pendingin mati) dan M 23 (mangkok penangkap kembali) secara otomatis.

2. Penerimaan kata dan isi kata

Isi kata X (U), Z (W), F, S, T diambil alih ke blok-blok berikutnya.

Isinya dibatalkan melalui pemrograman harga yang lain.^[7]

2.5. Metode Analisis

2.5.1. Analisis Variansi Faktorial

Analisis yang digunakan adalah analisis variansi tiga faktorial sesuai dengan banyaknya parameter yang diteliti yaitu waktu tinggal diam (D_4), kecepatan pemotongan (V) dan kecepatan pemakanan (F) serta masing-masing mempunyai tiga taraf dan dengan pengulangan tiga kali, sehingga data yang dihasilkan adalah 81 data.

Adapun model yang digunakan adalah :

$$Y_{ijk} = \mu + F_i + V_j + FV_{ij} + D_{4k} + FD_{4ik} + VD_{4jk} + FVD_{4ijk} + \varepsilon_{l(ijk)}$$

dimana :

Y_{ijk} = variabel respon karena pengaruh bersama faktor D_4 pada taraf faktor ke-i; faktor V pada taraf faktor ke-j dan faktor F pada taraf faktor ke-k pada observasi ke-l

μ = rata-rata yang sebenarnya (berharga konstan)

D_{4k} = pengaruh faktor D_4 pada taraf faktor ke-k

V_j = pengaruh faktor V pada taraf faktor ke-j

F_i = pengaruh faktor F pada taraf faktor ke-i

FV_{ij} = pengaruh interaksi antara faktor F pada taraf faktor ke-i dan faktor V pada taraf faktor ke-j

FD_{4ik} = pengaruh interaksi antara faktor F pada taraf faktor ke-i dan faktor D_4 pada taraf faktor ke-k

VD_{4jk} = pengaruh interaksi antara faktor V pada taraf faktor ke-j dan faktor F pada taraf faktor ke-k.

FVD_{4ijk} = pengaruh terhadap variabel respon yang disebabkan oleh faktor D_4 pada taraf faktor ke-i; faktor V pada taraf faktor ke-j; dan faktor F pada taraf faktor ke-k

$\varepsilon_{l(ijk)}$ = pengaruh unit eksperimen ke-l karena kombinasi perlakuan (ijk)

Analisis variansi faktorial merupakan metode untuk menganalisis atau menguraikan seluruh variasi atau bagian-bagian yang bermakna dari beberapa faktor. Metode ini sering digunakan untuk menganalisis data-data yang didapatkan dari beberapa parameter yang telah ditentukan terlebih dahulu. Selain itu dapat mengidentifikasi semua pengaruh yang terjadi baik berdiri sendiri maupun kombinasi atau interaksi antara beberapa parameter yang telah ditentukan terlebih dahulu. Dari data yang diperoleh perlu dianalisis tiap-tiap faktor baik yang berdiri sendiri maupun yang berinteraksi, dengan menggunakan metode ANOVA (Analysis of Varians) sehingga dapat diketahui apakah faktor-faktor tersebut berpengaruh terhadap model atau tidak.

Source of Variation	Sum of Square	DF	Mean Square	Fratio	Sig Level
Main Effect					
A	JKA	(a-1)	A'	A'/E'	
V	JKV	(v-1)	V'	V'/E'	
F	JKF	(f-1)	F'	F'/E'	
Interaction					
AV	JKAV	(a-1)(v-1)	AV'	AV'/E'	
AF	JKAF	(a-1)(f-1)	AF'	AF'/E'	
VF	JKVF	(v-1)(f-1)	VF'	VF'/E'	
AVF	JKAVF	(a-1)(v-1)(f-1)	AVF'	AVF'/E'	
Error	JKE	avf (n-1)	E'		
Total (corr)	JKT	avfn		.	

Tabel 2. Tabel Analisis Variansi

Dari tabel ANOVA di atas, maka berdasarkan angka-angka yang terdapat pada tiap-tiap kolom dapat diketahui hasil penganalisisannya. Untuk mengisi tiap-tiap kolom didasarkan pada perhitungan sebagai berikut :

Kolom Source of Variation (sumber variasi)

Pada kolom ini menunjukkan faktor-faktor yang dianalisis, baik yang berdiri sendiri yang merupakan pengaruh utama maupun yang saling berinteraksi, sedangkan error menggambarkan kesalahan dalam penelitian menurut statistik dan total (corr) adalah keseluruhan pengaruh pengaruh baik pengaruh utama maupun interaksi.

Kolom Sum of Square (jumlah kuadrat)

Jumlah kuadrat tiap-tiap faktor yang diteliti baik faktor yang berdiri sendiri yang merupakan pengaruh utama maupun yang saling berinteraksi yang dapat diketahui pada kolom ini, misalnya JKA adalah jumlah kuadrat dari faktor A dan seterusnya.

Kolom DF (derajat kebebasan)

Pada kolom ini menunjukkan derajat kebebasan dari sumber variasi. Jumlah derajat kebebasan selalu kurang satu dari jumlah tiap-tiap perlakuan, hal ini disebabkan karena pada perlakuan tersebut dibatasi satu

konstrain, sebagai contoh diberikan bahwa t banyaknya taraf untuk faktor T, v banyaknya taraf untuk faktor V dan f banyaknya taraf untuk faktor F.

Kolom Mean Square (rata-rata kuadrat)

Angka yang ditunjukkan pada kolom ini adalah hasil dari pembagian antara jumlah kuadrat dengan derajat kebebasan tiap-tiap sumber perlakuan.

Kolom F-Ratio (harga F-kritis)

Angka yang ditunjukkan dalam kolom ini merupakan harga yang diperoleh dengan membagi harga rata-rata kuadrat tiap-tiap perlakuan dengan rata-rata kuadrat kesalahan. Jadi harga pada kolom ini merupakan perbandingan antara sumber perlakuan dengan kesalahan pada penelitian tersebut.

Kolom Sig-Level

Angka yang ditunjukkan dalam kolom ini menunjukkan kemungkinan harga F-ratio lebih kecil dibandingkan dengan F-tabel. Untuk perlakuan yang mempunyai pengaruh terhadap respon, maka harga F-ratio lebih besar dari F-tabel. Misalkan untuk perlakuan A mempunyai derajat kebebasan $(a-1)$ dan derajat kebebasan error sebesar $(avf(n-1))$,

maka harga F-tabel berada pada kolom ke $(a-1)$ sebagai derajat kebebasan pembilang dan baris ke $avf(n-1)$ sebagai derajat kebebasan penyebut.

Angka yang ditunjukkan pada kolom ini mempunyai tiga kemungkinan, yaitu :

1. Jika menunjukkan nol maka perlakuan tersebut berpengaruh secara mutlak.
2. Jika menunjukkan angka kurang atau sama dengan 0.05 maka perlakuan tersebut mempunyai pengaruh terhadap respon.
3. Jika menunjukkan angka diatas 0.05 maka perlakuan tersebut dapat dianggap kurang berpengaruh terhadap respon.

2.5.2. Analisis Regresi

Analisis regresi adalah suatu metode statistik yang berguna untuk mencari hubungan linier antara variabel dependen dan variabel independen.

Variabel independen adalah variabel yang berdiri sendiri tanpa adanya ikatan dari variabel lain. Variabel ini dapat terdiri dari satu atau beberapa variabel sehingga dalam suatu penelitian variabel ini harus ditentukan terlebih dahulu.

Variabel dependen adalah variabel yang sangat bergantung atau dipengaruhi satu atau lebih variabel independen, nilai variabel dependen dapat diketahui melalui penelitian.

2.5.2.1. Regresi Linier Multipel

Untuk mengetahui pengaruh kondisi pemotongan terhadap kekasaran permukaan pada proses pengaluran baja serta untuk memudahkan penganalisisan dan menarik kesimpulan dari hasil percobaan maka digunakan asumsi bahwa kekasaran permukaan merupakan fungsi dari kondisi pemotongan yang terdiri dari kecepatan pemakanan kecepatan pemotongan dan waktu tinggal diam, dengan demikian dapat dituliskan fungsi sebagai berikut :

$$Ra = f(F, V, D_4)$$

dimana :

Ra = kekasaran permukaan yang diperoleh dari percobaan

D_4 = waktu tinggal diam

V = kecepatan pemotongan

F = kecepatan pemakanan

Karena model fungsional belum diketahui maka dipakai model peramalan dan diduga model tersebut dalam bentuk persamaan matematisnya sebagai berikut : ^[14]

$$R = \beta \cdot F^{\alpha_1} \cdot V^{\alpha_2} \cdot D_4^{\alpha_3}$$

untuk merubah ke dalam bentuk linier, maka bentuk tersebut di atas perlu ditransformasikan ke dalam bentuk logaritmanya, sehingga menjadi :

$$\ln R = \ln \beta + \alpha_1 \ln F + \alpha_2 \ln V + \alpha_3 \ln D_4$$

persamaan di atas masih perlu ditransformasikan menjadi bentuk/model persamaan regresi linier multipel menjadi :

$$Y = \beta + \alpha_1 X_1 + \alpha_2 X_2 + \alpha_3 X_3$$

dengan transformasi $Y = \ln R$, $X_1 = \ln F$, $X_2 = \ln V$ dan $X_3 = \ln D_4$.

Langkah selanjutnya adalah menentukan hubungan atau korelasi antara Y terhadap variabel-variabel X_1 , X_2 , dan X_3 dengan menentukan nilai konstanta β , harga koefisien X_1 , X_2 dan X_3 berupa α_1 , α_2 , α_3 . Untuk menentukan konstanta dan koefisien-koefisien tersebut dilakukan dengan bantuan software Statgraf 5.0. Dari hasil pengolahan tersebut didapatkan persamaan regresi, analisis variansi dan hubungan antara variabel bebas dan variabel respon satu per satu serta dapat pula diketahui variabel-variabel yang berpengaruh terhadap nilai kualitas kekasaran permukaan yang didapat melalui percobaan.

Agar didapatkan kesimpulan yang akurat maka perlu dilakukan pengujian-pengujian terhadap regresi.

2.5.2.2. Pengujian Model Regresi

Uji model regresi bertujuan untuk mengetahui apakah model persamaan regresi yang didapat benar-benar berarti/valid untuk mengambil kesimpulan, yaitu apakah persamaan regresi dengan

koefisien-koefisiennya sudah dapat dianggap mewakili data-data yang diperoleh melalui penelitian.

Metode yang digunakan untuk menganalisis data hasil penelitian menggunakan metode pengujian koefisien regresi secara serentak dan pengujian residual.

2.5.2.2.1. Pengujian Koefisien Regresi

Untuk menguji keseluruhan pengaruh variabel X terhadap respon Y digunakan metode Analisis Varians (ANOVA). Analisis variansi digunakan untuk memecah jumlah kuadrat regresi/model dan jumlah kuadrat residual/error.

Pada tabel ANOVA terdapat kolom yang menunjukkan apakah model tersebut dapat diterima atau tidak. Pernyataan ini berupa angka dan harganya ada tiga kemungkinan :

1. Jika angkanya (P-value) menunjukkan nol maka model dapat diterima secara mutlak.
 2. Jika menunjukkan angka kurang atau sama dengan 0.05 maka model ini dapat diterima karena kemungkinan benar masih di atas 95 %.
 3. Jika menunjukkan angka diatas 0.05 maka model tersebut tidak dapat diterima.
-

2.5.2.2. Pengujian Residual

Residual didefinisikan sebagai perbedaan antara nilai pengamatan (Y) dengan nilai taksiran (\hat{Y}) setelah model yang sesuai ditetapkan.

Oleh karena itu di dalam pengujian suatu model sebelum mengambil keputusan hendaknya asumsi terhadap residual harus dipenuhi terlebih dahulu. Adapun asumsi residual yang harus dipenuhi adalah ε mendekati IIDN $(0, \sigma^2)$, artinya residual harus identik, independen dan distribusi normal.

1. Uji Identik :

Bertujuan untuk melihat apakah penyebaran diantara residual identik/sama yaitu tidak menunjukkan kecenderungan menaik/menurun. Residual dapat dikatakan identik apabila data yang didapat menyebar merata diantara garis horizontal.

2. Uji Independen :

Bertujuan untuk menguji apakah terdapat ketergantungan diantara residual yang ada. Jika tidak terdapat ketergantungan antara variabel independen dan residual maka garis pada plot antara residual dan prediksinya akan tersebar merata di sekitar garis horizontal. Bila hal ini terjadi maka residual yang terjadi memenuhi syarat.

3. Uji Normal :

Bertujuan untuk mengetahui apakah residual mempunyai distribusi normal dengan mean = 0 dan variansi = σ^2 . Bila plot yang terjadi mendekati garis lurus maka asumsi normal terpenuhi.

BAB 3

METODE DAN HASIL PERCOBAAN

3.1. Rancangan Dasar Percobaan

Percobaan ini dimaksudkan untuk mengetahui pengaruh kondisi pemotongan terhadap kekasaran permukaan pada proses pembubutan dengan menggunakan mesin bubut CNC EMCOTURN 242-T.

Spesimen uji berupa baja AISI 1045 dengan diameter awal 25 mm, dikenakan proses pengaluran dengan kedalaman 3 mm sebanyak 27 sampel dengan pengubahan kondisi pemotongan yang telah ditentukan untuk tiap sampel. Setelah proses pengaluran selesai dilakukan pengukuran kekasaran pada permukaan dan tepi alur dengan menggunakan alat ukur kekasaran permukaan Surface Tester MIUTOYO 301, dengan pengulangan pengukuran sebanyak 3 kali yang kemudian data dianalisis dengan alat bantu Statgraf 5.0. Hasil analisis tersebut dipergunakan untuk menarik kesimpulan.

3.2. Material Uji

Material uji yang digunakan pada percobaan ini berupa baja karbon AISI 1045.

Tensile strength : 60 - 90 Kg/mm²

Yield point : 36 - 48 Kg/mm²

Kekerasan : 210 BHN

3.3. Mesin Perkakas

Mesin perkakas yang dipergunakan pada percobaan ini adalah mesin CNC EMCOTURN

- Tipe : 242-T

- Tahun : 1988

- Pabrik pembuat : EMCO MIER & Co, Friedman-Maier-Strabe 9 A-5400

Hallein, Austria.

Spesifikasi :

- Diameter pembubutan dari atas bed	340 mm
- Diameter pembubutan dari atas cross slide	150 mm
- Gerak geser longitudinal (sumbu Z)	300 mm
- Gerak geser melintang (sumbu X)	300 mm
- Gaya pemakanan longitudinal	6 kN
- Gaya pemakanan melintang	4 kN
- Penggerak utama motor DC	6.6 / 10 kW
- Penggerak feeding servomotor DC	
- Kecepatan penghantaran	12 m/min
- Range kecepatan potong	
50-4500m/min	
- Tool sistem , AUTOMATIC 8-Tool DUPLOMATIC disc turret with direction logic.	

3.4. Pahat (Tool)

Pahat yang digunakan dipilih sesuai dengan kekerasan material uji.

- Tipe : Pahat grooving, LFMX 31 SN-FX
- Grade : N308 (P10)
- Jenis : Cemented Carbide
- Tool Holder: XLDFR/L 2016 K 31-FX

3.5. Cairan Pendingin

Cairan pendingin yang digunakan tipe CASTROL EDX dengan perbandingan 1 : 20

3.6. Peralatan Yang Digunakan

1. Alat ukur :

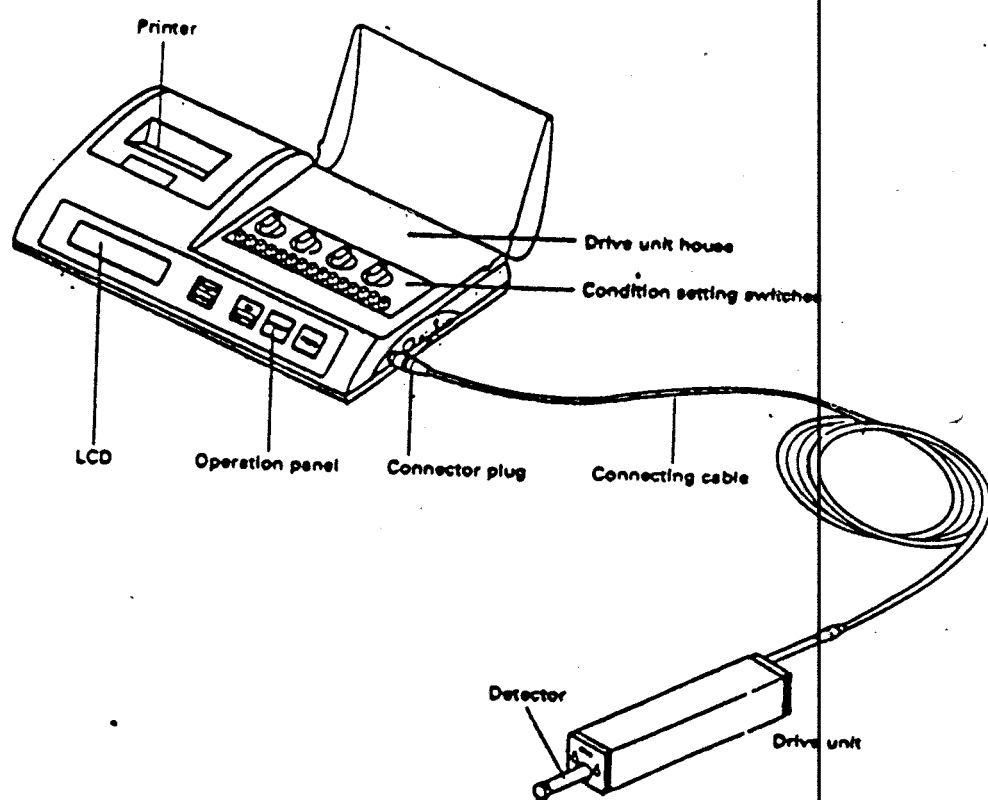
- Jangka sorong
 - Surface Tester MITUTOYO 301
- Spesifikasi : - Panjang : 260 mm
- Lebar : 153 mm
- Tinggi : 75 mm
- Berat : 1,4 kg

Printer : - Tipe : Dot Impack
- Model : 160 Seiko Epson

Detektor :

- Mode deteksi : Differensial Induktansi
- Material stylus : Intan / diamond
- Radius ujung stylus : 5 mikronmeter
- Gaya pengukuran : 4 mN
- Sumber daya : AC Adaptor (10 V ; 1,2 A)

2. Alat pendukung : V block.

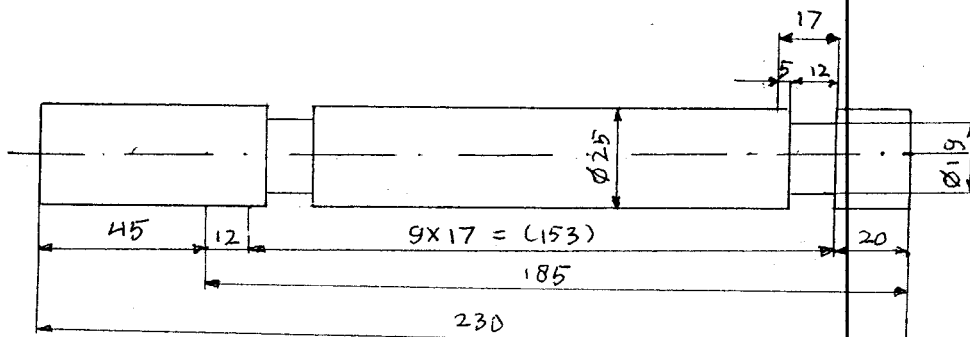
Surftest 301 Main Unit

Gb. 8. Surface roughness tester Mitutoyo 301

3.7. Prosedur Percobaan

3.7.1. Persiapan 1

1. Material uji.



Gb. 9. Material uji

2. Tabel percobaan.

Kondisi potong	$D_{4.1}$ 10	$D_{4.2}$ 30	$D_{4.3}$ 50
$f_1 = 0,05$	$V_1 = 130$	I	X
	$V_2 = 175$	II	XI
	$V_3 = 270$	III	XII
$f_2 = 0,062$	$V_1 = 130$	IV	XIII
	$V_2 = 175$	V	XIV
	$V_3 = 270$	VI	XV
$f_3 = 0,075$	$V_1 = 130$	VII	XVI
	$V_2 = 175$	VIII	XVII
	$V_3 = 270$	IX	XVIII

Tabel 3. Tabel percobaan

Keterangan :

- Angka romawi menunjukkan sampel yang dibubut.
- D_4 satuannya 1/10 detik.
- V satuannya m/min
- F satuannya mm/rev

3.7.2. Persiapan 2

1. Hidupkan mesin kemudian dilakukan pengkondisian dengan menggerakkan spindel 3 - 5 kali CW dan CCW, serta chip conveyor dibiarkan berjalan.
2. Pemasangan insert pahat pada holder yang terpasang pada turret.
3. Posisikan stopper pada jarak 185 mm dari titik referensi mesin.
4. Setting PSO.
5. Pemasukkan program pada kontrol CNC.
6. Cek program disesuaikan dengan yang tercatat dan uji program, apabila tidak ada alarm maka program sudah benar.

3.7.2.1. Pengecekan Program Manual

Untuk pengecekan program secara manual dilakukan dengan jalan melihat program blok demi blok disesuaikan dengan yang telah ditulis sebelumnya di selembar kertas.

3.7.2.2. Pengecekan Dengan Uji Program

Secara garis besar ada dua macam cara, yaitu :

1. Pengujian program langsung tanpa gerakan.

Pengujian ini dilakukan dengan jalan :

- memanggil nomor program
- mode pada posisi Automatic

- posisikan Feed rate pada posisi nol
- tulis N 750 (atau dua nomor di bawah nomor blok terakhir)
- tekan Prev 2 kali kemudian Cycle Start dan putar Feed Rate pelan-pelan

Apabila tidak ada kesalahan maka akan langsung kembali ke nomor blok pertama (N 00). Apabila ada kesalahan akan muncul alarm dan pesan di mana letak kesalahan tersebut.

2. Pengujian dengan gerakan

Pengujian ini dilakukan seperti pada pengujian di atas, hanya saja dilakukan pengaktifan Single dan atau Dry Run. Dengan pengujian ini kita bisa melihat bagaimana gerakan yang akan dilakukan mesin selama proses permesinan nantinya, baik secara blok per blok maupun secara keseluruhan.

3.7.3. Pelaksanaan Percobaan

1. Pasang benda kerja pada chuck, sesuaikan panjang benda kerja dengan stopper.
 2. Tutup pintu mesin.
 3. Jalankan program, dengan menekan tombol cycle start.
 4. Saat program mencapai blok terakhir mesin berhenti.
 5. Buka pintu mesin.
 6. Ambil benda kerja dari mesin.
-

7. Olesi pelumas pada permukaan benda kerja.
8. Pengubahan kondisi pemotongan, dalam hal ini waktu tinggal diam.

3.8. Prosedur Pengukuran

3.8.1. Persiapan

1. Siapkan alat ukur kekasaran permukaan.
2. Siapkan V-block.
3. Set-up ketinggian detector tester agar ujung tester terletak pada permukaan benda kerja.
4. Set-up alat ukur dengan cara sebagai berikut :

Set up awal alat ukur dibiarkan tetap, yang dirubah adalah :

- switch sampling length pada posisi 0,8 mm
- switch sampling span pada posisi 1 mm
- switch parameter pada posisi Ra
- switch kura dan text pada posisi on
- switch print pada posisi AUTO.
- switch satuan pada posisi mm.

5. Kalibrasi alat ukur dengan spesimen standar yang tersedia.

3.8.2. Pelaksanaan pengukuran

Pengukuran dilaksanakan sebanyak tiga kali untuk masing-masing sampel, secara acak.

1. Tempatkan benda kerja pada V block.
2. Posisikan detektor dan ujung stylus pada permukaan benda kerja.
3. Tekan tombol start.
4. Pengukuran berlangsung dan hasil pengukuran langsung dicetak.

3.9. Data Hasil Pengukuran

3.9.1. Permukaan Alur

No	F	V	D4	Ra	No	F	V	D4	Ra
1	0.050	50	10	7.63	42	0.062	55	30	6.48
2	0.050	50	10	6.43	43	0.062	60	30	6.73
3	0.050	50	10	6.30	44	0.062	60	30	3.68
4	0.050	55	10	4.72	45	0.062	60	30	5.31
5	0.050	55	10	6.29	46	0.075	50	30	7.74
6	0.050	55	10	7.79	47	0.075	50	30	10.00
7	0.050	60	10	5.50	48	0.075	50	30	14.62
8	0.050	60	10	5.15	49	0.075	55	30	9.74
9	0.050	60	10	6.87	50	0.075	55	30	9.46
10	0.062	50	10	11.23	51	0.075	55	30	8.01
11	0.062	50	10	6.08	52	0.075	60	30	7.69
12	0.062	50	10	7.30	53	0.075	60	30	6.42
13	0.062	55	10	7.36	54	0.075	60	30	9.81
14	0.062	55	10	6.61	55	0.050	50	50	4.70
15	0.062	55	10	8.91	56	0.050	50	50	5.53
16	0.062	60	10	5.31	57	0.050	50	50	2.96
17	0.062	60	10	8.68	58	0.050	55	50	4.72
18	0.062	60	10	8.29	59	0.050	55	50	4.76
19	0.075	50	10	13.82	60	0.050	55	50	2.57
20	0.075	50	10	13.55	61	0.050	60	50	2.22
21	0.075	50	10	9.11	62	0.050	60	50	3.81
22	0.075	55	10	8.55	63	0.050	60	50	3.23
23	0.075	55	10	10.23	64	0.062	50	50	5.29
24	0.075	55	10	10.61	65	0.062	50	50	4.15
25	0.075	60	10	12.19	66	0.062	50	50	6.82
26	0.075	60	10	9.36	67	0.062	55	50	3.92
27	0.075	60	10	7.04	68	0.062	55	50	5.10
28	0.050	50	30	4.97	69	0.062	55	50	5.75
29	0.050	50	30	5.39	70	0.062	60	50	3.30
30	0.050	50	30	5.10	71	0.062	60	50	5.32
31	0.050	55	30	5.40	72	0.062	60	50	4.74
32	0.050	55	30	6.22	73	0.075	50	50	4.61
33	0.050	55	30	3.60	74	0.075	50	50	6.33
34	0.050	60	30	6.64	75	0.075	50	50	8.67
35	0.050	60	30	1.40	76	0.075	55	50	9.24
36	0.050	60	30	3.87	77	0.075	55	50	3.49
37	0.062	50	30	9.50	78	0.075	55	50	5.80
38	0.062	50	30	5.48	79	0.075	60	50	4.30
39	0.062	50	30	7.52	80	0.075	60	50	5.99
40	0.062	55	30	5.03	81	0.075	60	50	6.08
41	0.062	55	30	8.48					

3.9.2. Tepi Alur

No	F	V	D4	Ra
1	0.050	50	10	2.00
2	0.050	50	10	2.13
3	0.050	50	10	3.19
4	0.050	55	10	2.38
5	0.050	55	10	1.75
6	0.050	55	10	2.06
7	0.050	60	10	1.49
8	0.050	60	10	1.44
9	0.050	60	10	1.61
10	0.062	50	10	2.12
11	0.062	50	10	2.64
12	0.062	50	10	3.01
13	0.062	55	10	2.45
14	0.062	55	10	2.20
15	0.062	55	10	2.96
16	0.062	60	10	2.21
17	0.062	60	10	2.65
18	0.062	60	10	3.37
19	0.075	50	10	2.26
20	0.075	50	10	3.37
21	0.075	50	10	3.20
22	0.075	55	10	2.71
23	0.075	55	10	3.26
24	0.075	55	10	2.21
25	0.075	60	10	3.10
26	0.075	60	10	2.58
27	0.075	60	10	2.99
28	0.050	50	30	3.36
29	0.050	50	30	1.62
30	0.050	50	30	3.11
31	0.050	55	30	2.59
32	0.050	55	30	2.61
33	0.050	55	30	1.98
34	0.050	60	30	1.71
35	0.050	60	30	2.26
36	0.050	60	30	2.82
37	0.062	50	30	2.45
38	0.062	50	30	3.01
39	0.062	50	30	4.42
40	0.062	55	30	4.71
41	0.062	55	30	2.34

No	F	V	D4	Ra
42	0.062	55	30	2.60
43	0.062	60	30	3.51
44	0.062	60	30	2.82
45	0.062	60	30	1.90
46	0.075	50	30	4.56
47	0.075	50	30	4.79
48	0.075	50	30	3.99
49	0.075	55	30	4.88
50	0.075	55	30	4.18
51	0.075	55	30	3.28
52	0.075	60	30	3.18
53	0.075	60	30	5.68
54	0.075	60	30	2.66
55	0.050	50	50	2.34
56	0.050	50	50	2.20
57	0.050	50	50	2.07
58	0.050	55	50	2.06
59	0.050	55	50	1.95
60	0.050	55	50	2.25
61	0.050	60	50	2.17
62	0.050	60	50	1.90
63	0.050	60	50	2.05
64	0.062	50	50	3.82
65	0.062	50	50	3.42
66	0.062	50	50	3.06
67	0.062	55	50	3.34
68	0.062	55	50	3.30
69	0.062	55	50	3.31
70	0.062	60	50	2.86
71	0.062	60	50	2.72
72	0.062	60	50	2.65
73	0.075	50	50	6.85
74	0.075	50	50	7.34
75	0.075	50	50	9.24
76	0.075	55	50	5.51
77	0.075	55	50	5.48
78	0.075	55	50	5.80
79	0.075	60	50	5.55
80	0.075	60	50	3.27
81	0.075	60	50	3.39

BAB 4

ANALISIS DATA DAN PEMBAHASAN

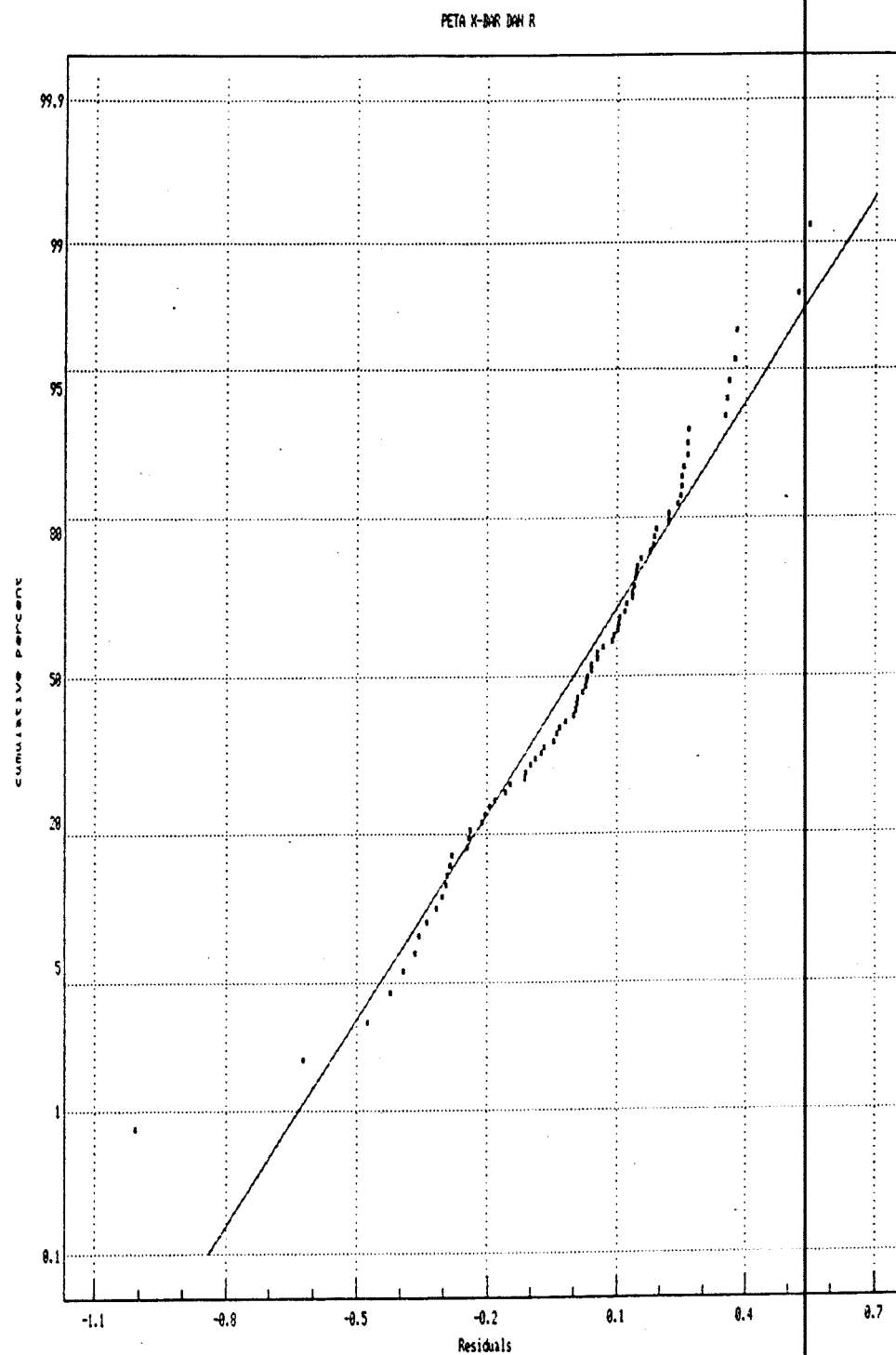
Sebelum dilakukan analisis terhadap data-data yang didapat terlebih dahulu ditentukan hipotesis tentang hasil analisis tersebut. Hipotesis tersebut adalah :

- H_0 = tidak ada pengaruh dari variabel terhadap respon
- H_1 = ada pengaruh terhadap respon

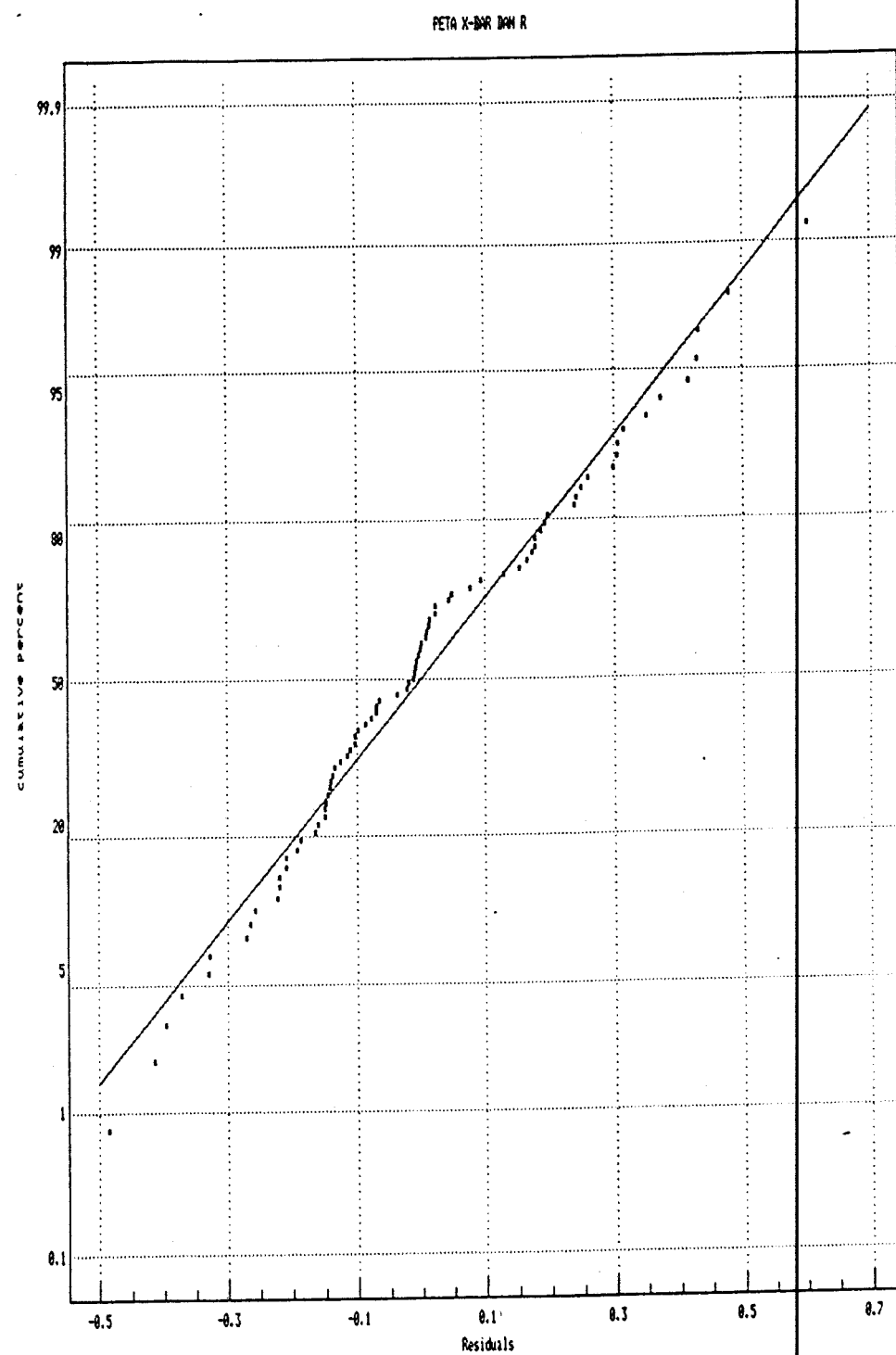
Selanjutnya perlu dilakukan pengujian terhadap residual yang terjadi yang terdiri dari uji Identik, Independen dan uji Normal. Berdasarkan data yang didapatkan dan dilakukan pengujian terhadap model didapatkan plot grafik uji normal dan uji residual.

Berdasarkan grafik distribusi normal, baik untuk permukaan maupun tepi, menunjukkan bahwa asumsi distribusi normal terpenuhi, hal tersebut terlihat dari plot grafik distribusi normal yang mendekati garis lurus.

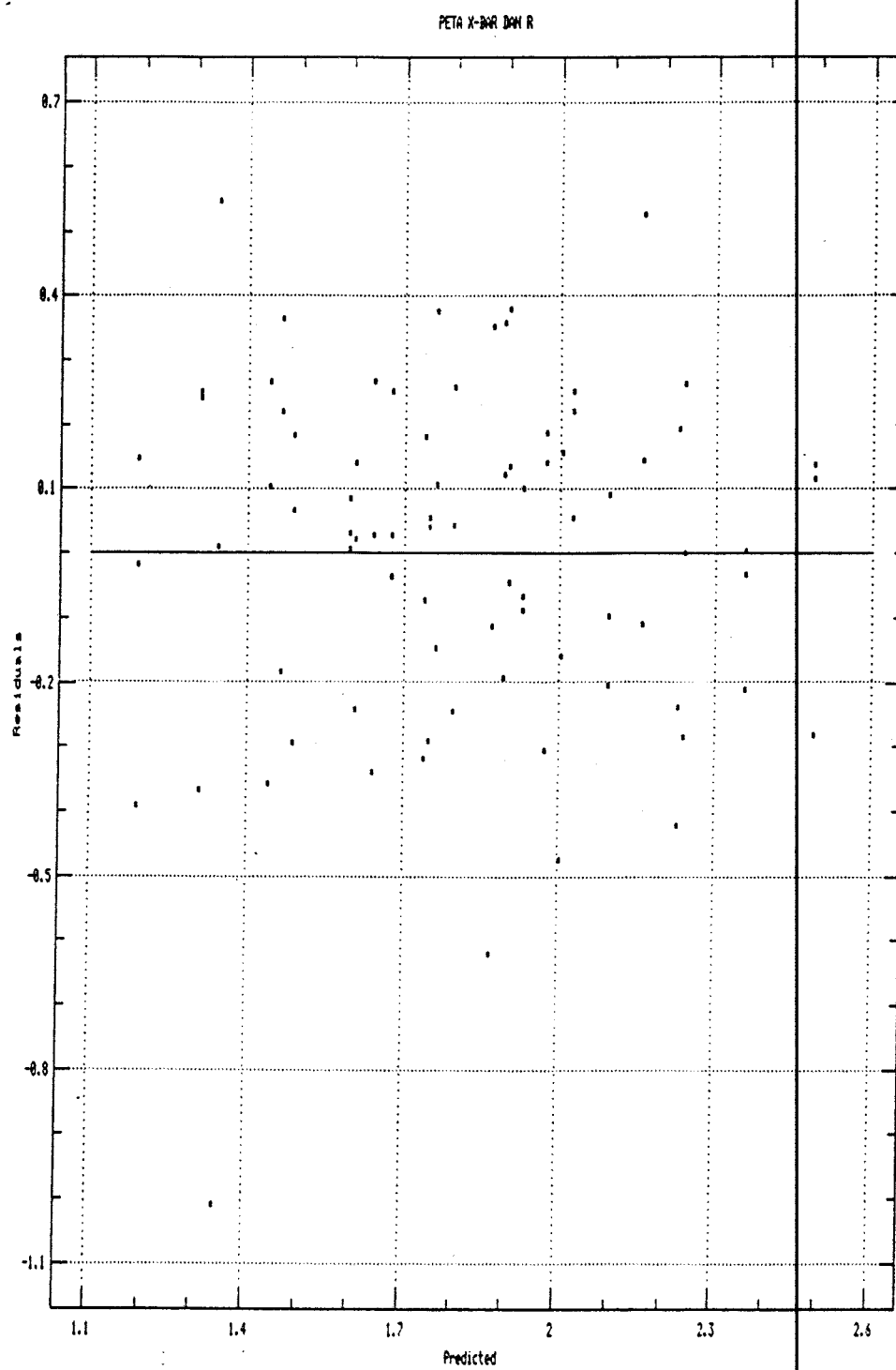
Berdasarkan grafik identik dan independen, baik untuk permukaan maupun tepi, menunjukkan bahwa residual tersebar merata diantara garis horisontal, sehingga asumsi Identik dan Independen terpenuhi.



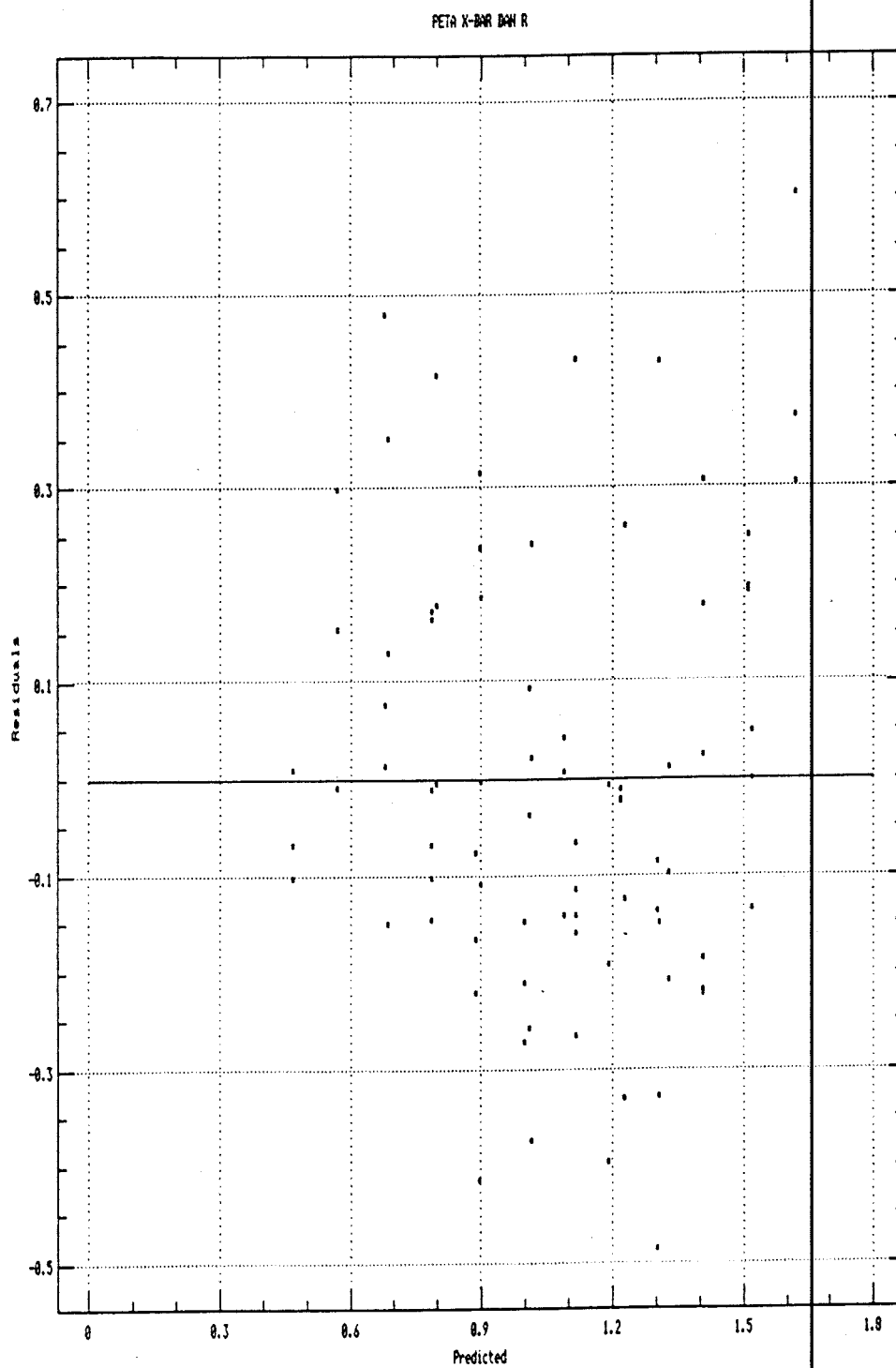
Grafik 4. Distribusi Normal untuk Permukaan



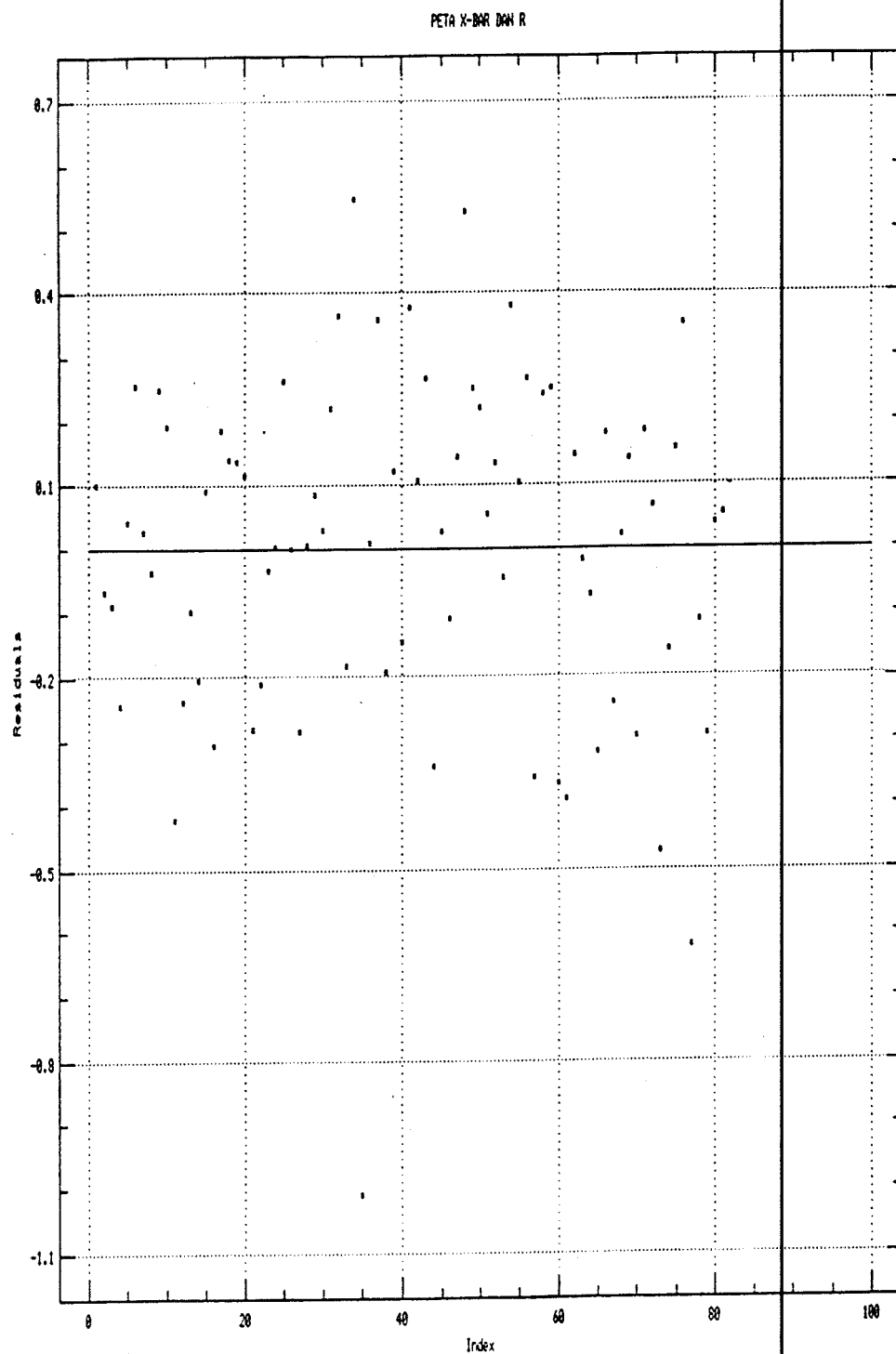
Grafik 5. Distribusi Normal untuk Tepi



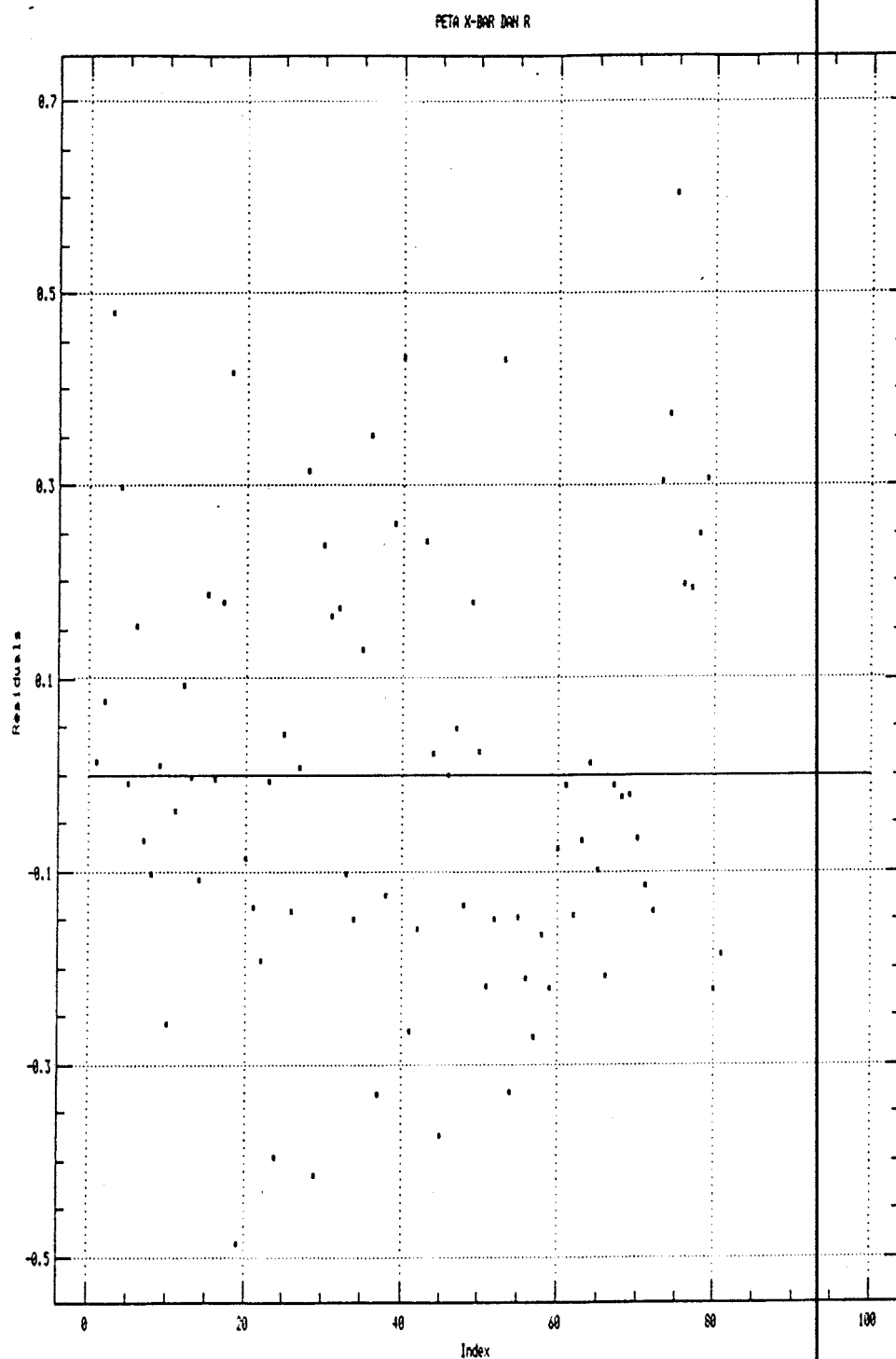
Grafik 6. Identik untuk Permukaan



Grafik 7. Identik untuk Tepi



Grafik 8. Independen untuk Permukaan



Grafik 9. Independen untuk Tepi

4.1. Analisis Variansi

4.1.1. Untuk Permukaan Alur

Berdasarkan analisis variansi yang dilakukan dengan software Statgraf 5.0 dihasilkan tabel ANOVA.

Analysis of Variance for LNMUKA.var4 - Type III Sums of Squares					
Source of variation	Sum of Squares	d.f.	Mean square	F-ratio	Sig. level
MAIN EFFECTS					
A:LNMUKA.var1	4.2511659	2	2.1255829	24.076	.0000
B:LNMUKA.var2	.8810609	2	.4405305	4.990	.0103
C:LNMUKA.var3	3.6197173	2	1.8098587	20.500	.0000
INTERACTIONS					
AB	.0635415	4	.0158854	.180	.9478
AC	.2147293	4	.0536823	.608	.6586
BC	.1318852	4	.0329713	.373	.8266
ABC	.0554701	8	.0069338	.079	.9996
RESIDUAL	4.7675014	54	.0882871		
TOTAL (CORRECTED)	13.985072	80			

Tabel 4. Tabel Analisis Variansi untuk Permukaan

Berdasar tabel tersebut terlihat pada kolom sig. level bahwa pengaruh utama D₄ (waktu tinggal diam), V (kecepatan pemotongan) dan F (kecepatan pemakanan) menunjukkan angka nol dan dibawah 0.05, sehingga tolak H₀ dan terima H₁. Hal ini berarti bahwa variabel-variabel tersebut berpengaruh secara nyata terhadap kekasaran permukaan. Sedangkan pada interaksi harga-harga pada kolom sig. level menunjukkan

lebih dari 0.05, sehingga tolak H_1 dan terima H_0 . Hal ini berarti bahwa tidak ada pengaruh interaksi terhadap kekasaran permukaan.

4.1.2. Untuk Tepi Alur

Berdasarkan analisis variansi yang dilakukan dengan software Statgraf 5.0 dihasilkan tabel ANOVA.

Analysis of Variance for LNTEPI.var4 - Type III Sums of Squares					
Source of variation	Sum of Squares	d.f.	Mean square	F-ratio	Sig. level
MAIN EFFECTS					
A:LNTEPI.var1	5.2260971	2	2.6130486	58.418	.0000
B:LNTEPI.var2	.6102132	2	.3051066	6.821	.0023
C:LNTEPI.var3	1.4399087	2	.7199544	16.096	.0000
INTERACTIONS					
AB	.0773448	4	.0193362	.432	.7847
AC	.9810868	4	.2452717	5.483	.0009
BC	.0927822	4	.0231956	.519	.7224
ABC	.4854958	8	.0606870	1.357	.2366
RESIDUAL	2.4154150	54	.0447299		
TOTAL (CORRECTED)	11.328344	80			

Tabel 5. Tabel Analisis Variansi untuk Tepi

Berdasar tabel tersebut terlihat pada kolom sig. level bahwa untuk pengaruh utama D₄ (waktu tinggal diam), V (kecepatan pemotongan) dan F (kecepatan pemakanan) menunjukkan angka nol dan dibawah 0.05, sehingga tolak H_0 dan terima H_1 . Hal ini berarti bahwa variabel-variabel tersebut berpengaruh terhadap kekasaran permukaan. Sedangkan pada interaksi

harga-harga pada kolom sig. level menunjukkan lebih dari 0,05, kecuali pada interaksi F dan D₄, sehingga tolak H₁ dan terima H₀. Hal ini berarti bahwa tidak ada pengaruh interaksi terhadap kekasaran permukaan. Perkecualian pada interaksi F dan D₄.

4.2. Analisis Regresi

4.2.1. Untuk Permukaan Alur

Setelah dilakukan analisis regresi didapatkan tabel analisis regresi dan analisis variansi.

Analysis of Variance for the Full Regression					
Source	Sum of Squares	DF	Mean Square	F-Ratio	P-value
Model	8.44409	3	2.81470	39.1143	<.0000
Error	5.54098	77	0.0719608		
Total (Corr.)	13.9851	80			

Tabel 6. Tabel Analisis Variansi Regresi untuk Permukaan

Dari tabel analisis variansi untuk regresi terlihat bahwa P-value menunjukkan harga nol, hal ini berarti model dapat diterima secara mutlak.

Berdasarkan tabel model fitting result didapatkan koefisien-koefisien untuk model persamaan regresi, sehingga model persamaan regresi tersebut adalah sebagai berikut :

$$\ln R = 12.195 + 1.382 \ln F - 1.388 \ln V - 0.302 \ln D_4$$

Model fitting results for: LNMUKA.var4				
Independent variable	coefficient	std. error	t-value	sig.level
CONSTANT	12.195254	1.68607	7.2329	0.0000
LNMUKA.var1	1.381642	0.179955	7.6777	0.0000
LNMUKA.var2	-1.388249	0.40031	-3.4679	0.0009
LNMUKA.var3	-0.302257	0.044388	-6.8095	0.0000
R-SQ. (ADJ.) = 0.5884	SE= 0.268255	MAE= 0.203989	DurbWat= 2.268	
Previously: 0.0000	0.0000000	0.0000000		0.000
81 observations fitted, forecast(s) computed for 0 missing val. of dep. var.				

Tabel 7. Tabel Hasil Fitting Model untuk Permukaan

4.2.2. Untuk Tepi Alur

Setelah dilakukan analisis regresi didapatkan tabel analisis regresi dan analisis variansi.

Analysis of Variance for the Full Regression					
Source	Sum of Squares	DF	Mean Square	F-Ratio	P-value
Model	7.25425	3	2.41808	45.7015	<.0000
Error	4.07409	77	0.0529103		
Total (Corr.)	11.3283	80			

Tabel 8. Tabel Analisis Variansi Regresi untuk Tepi

Dari tabel analisis variansi untuk regresi terlihat bahwa P-value menunjukkan harga nol, hal ini berarti model dapat diterima secara mutlak.

Model fitting results for: LNTEPI.var4				
Independent variable	coefficient	std. error	t-value	sig.level
CONSTANT	9.356123	1.445765	6.4714	0.0000
LNTEPI.var1	1.531469	0.154307	9.9248	0.0000
LNTEPI.var2	-1.161919	0.343257	-3.3850	0.0011
LNTEPI.var3	0.198301	0.038061	5.2100	0.0000
R-SQ. (ADJ.) = 0.6264	SE= 0.230022	MAE= 0.177880	DurbWat= 1.753	
Previously: 0.0000	0.0000000	0.0000000		0.000
81 observations fitted, forecast(s) computed for 0 missing val. of dep. var.				

Tabel 9. Tabel Hasil fitting Model untuk Tepi

Berdasarkan tabel model fitting result didapatkan koefisien-koefisien untuk model persamaan regresi, sehingga model persamaan regresi tersebut adalah sebagai berikut :

$$\ln R = 9.356 + 1.531 \ln F - 1.162 \ln V + 0.198 \ln D_4$$

Model-model persamaan regresi tersebut berlaku ideal di dalam dan di sekitar ruang contohnya.

BAB 5

KESIMPULAN

Berdasarkan percobaan, pengujian dan analisis data yang dilakukan, didapatkan kesimpulan sebagai berikut :

1. Dengan menambah kecepatan pemakanan maka bertambah pula angka kekasaran permukaan yang didapatkan. Hal ini berlaku pada permukaan maupun tepi alur.
2. Dengan menambah kecepatan pemotongan maka didapatkan penurunan angka kekasaran permukaan. Hal ini berlaku baik pada permukaan maupun tepi alur.
3. Dengan menambah waktu tinggal diam maka didapatkan penurunan angka kekasaran permukaan. Hal ini berlaku pada permukaan alur. Sedangkan pada tepi alur berlaku sebaliknya.
4. Dari hasil percobaan didapatkan hasil permukaan terbaik yaitu :
 - untuk permukaan alur dengan $R_a = 1.4 \mu\text{m}$ pada kondisi pemotongan $F = 0.05 \text{ mm/rev}$; $V = 60 \text{ m/min}$ dan $D_4 = 5 \text{ detik}$.
 - untuk tepi alur dengan $R_a = 1.44 \mu\text{m}$ pada kondisi pemotongan $F = 0.05 \text{ mm/rev}$; $V = 60 \text{ m/min}$ dan $D_4 = 1 \text{ detik}$.
5. Berdasarkan analisis regresi maka didapatkan permodelan persamaan regresi yang menunjukkan hubungan antara kondisi pemotongan dengan kekasaran permukaan pada proses pembuatan alur dengan menggunakan mesin bubut

dengan material AISI 1045, sebagai berikut :

- untuk permukaan alur :

$$\ln R = 12.195 + 1.382 \ln F - 1.388 \ln V - 0.302 \ln D_4$$

- untuk tepi alur :

$$\ln R = 9.356 + 1.531 \ln F - 1.162 \ln V + 0.198 \ln D_4$$

Model-model persamaan tersebut berlaku ideal di dalam dan di sekitar ruang contohnya.

PENUTUP

Dengan segala keterbatasan pengetahuan dan pengalaman yang dimiliki dan mungkin kurang sempurnanya penulisan dan kurang sempurnanya data-data yang dibuat, maka disadari dengan sepenuhnya bahwa Tugas Akhir ini masih jauh dari kesempurnaan.

Apabila dalam penulisan Tugas Akhir ini terdapat kesalahan baik dalam tata bahasa maupun pembahasannya, maka dengan segala kerendahan hati, penulis mohon maaf dan dengan senang hati penulis akan menerima saran dan kritik yang diberikan.

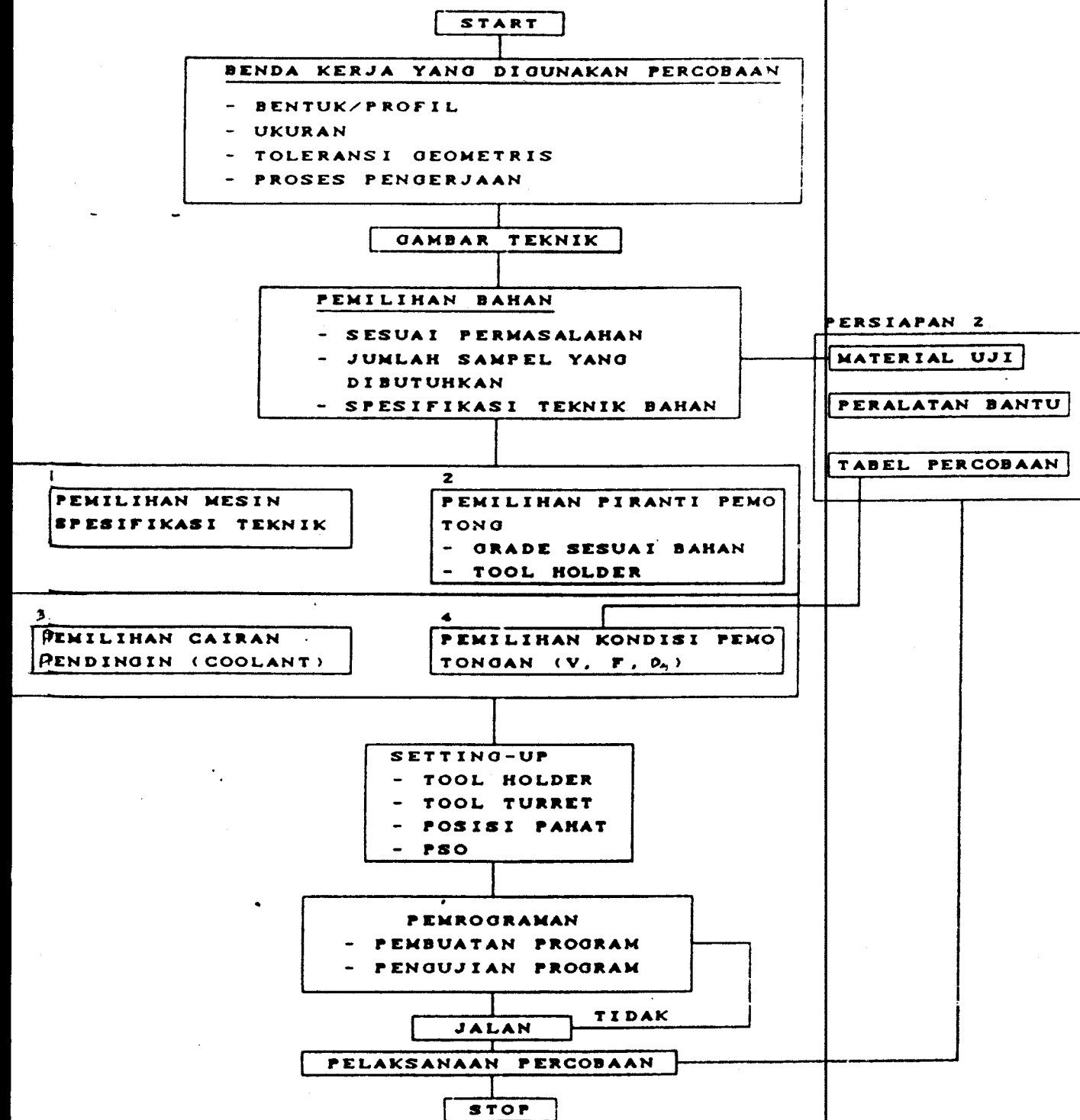
Akhirnya kepada semua pihak yang telah membantu baik secara langsung maupun tidak langsung telah membantu kelancaran dalam penyusunan Tugas Akhir ini penulis ucapkan banyak terima kasih.

DAFTAR PUSTAKA

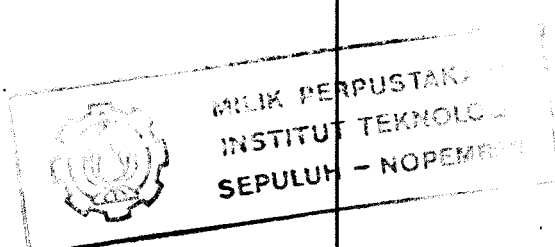
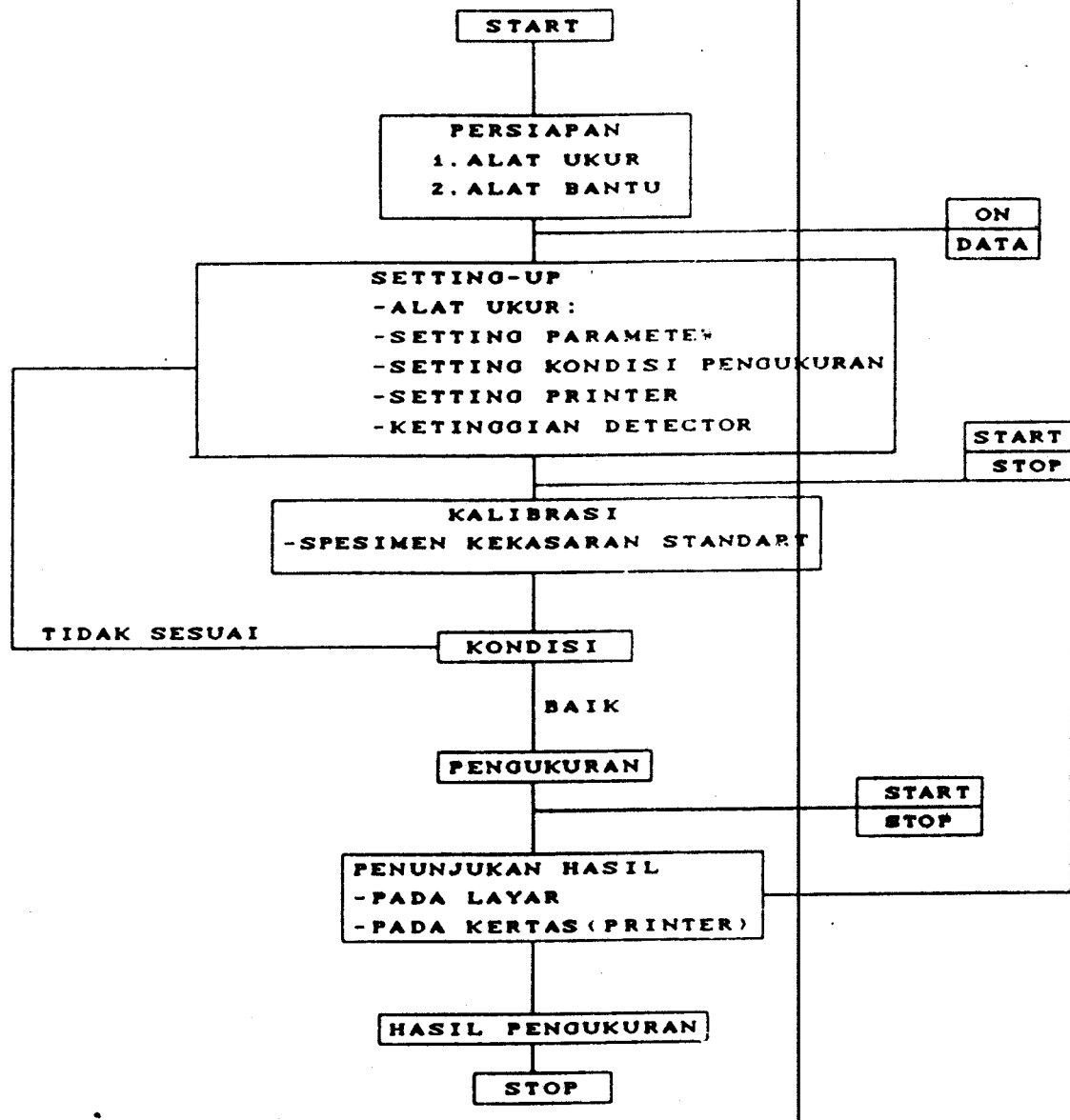
1. Boothroyd, G. *Fundamental of Metal Machining and Machine Tool*.
Singapore : Mac Graw Hill, 1985.
2. Kovan, V. *Fundamental of Process Engineering*.
3. Maslov, D. *Engineering Manufacturing Process in Machine and Assembly Shops*.
4. Rochim, Taufik. *Teori dan Teknologi Permesinan*. Bandung : ITB, 1985.
5. Wilson, F.W. *Fundamental of Tool Design*. New Delhi : Prentice-Hall of India Private Limited, 1984.
6. Soedjono, B.A. dkk. (trans). Hollebrandse, J.J.M., *Teknik Pemrograman dan Aplikasi CNC*.
7. EMCO MAIER. *Petunjuk Pemrograman dan Pelayanan EMCO PU-2A*. Austria : EMCO MAIER, Co, 1988.
8. Oberg, E. , Jones, F.D. & Hoerton, H.L. *Machinery's Handbook*. 22nd edition. New York : Industrial Press Inc. 1984.
9. American Society of Tool and Manufacturing Engineers . *Handbook of Industrial Metrology*. New Delhi : Prentice Hall of India Private Limited. 1967..
10. Mitutoyo. *Operation Manual of Surftest 301 series 178*.
11. Sudjana. *Desain dan Analisis Eksperimen*. Edisi Ketiga. Bandung : Tarsito. 1994.
12. Walpole, R.E. & Myers, R.H. *Probability and Statistic for Engineers and Scientists*. 1993.

13. Nugroho, P.A. *T.A. : Analisis Pengaruh Kondisi Pemotongan Pada Proses Bubut Baja AISI 1045 Dengan Mesin Bubut CNC terhadap Kekasaran Permukaan.* Surabaya : D3 T Mesin ITS. 1995.
14. Drapper, N. R. & Smith, H. *Applied Regression Analysis.* 2nd Edition. John Willey & Sons. 1992.

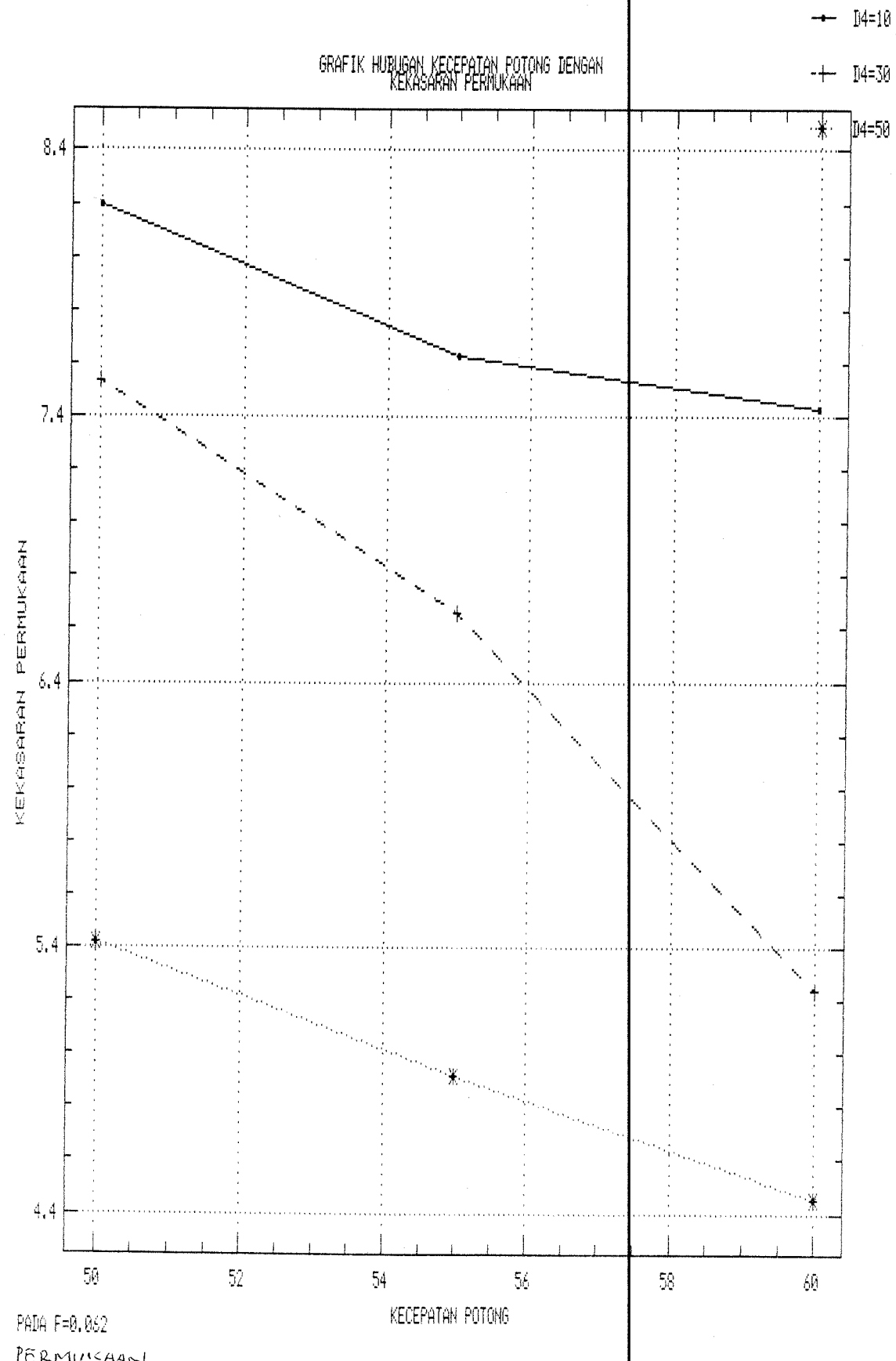
DIAGRAM ALIR PERCOBAAN

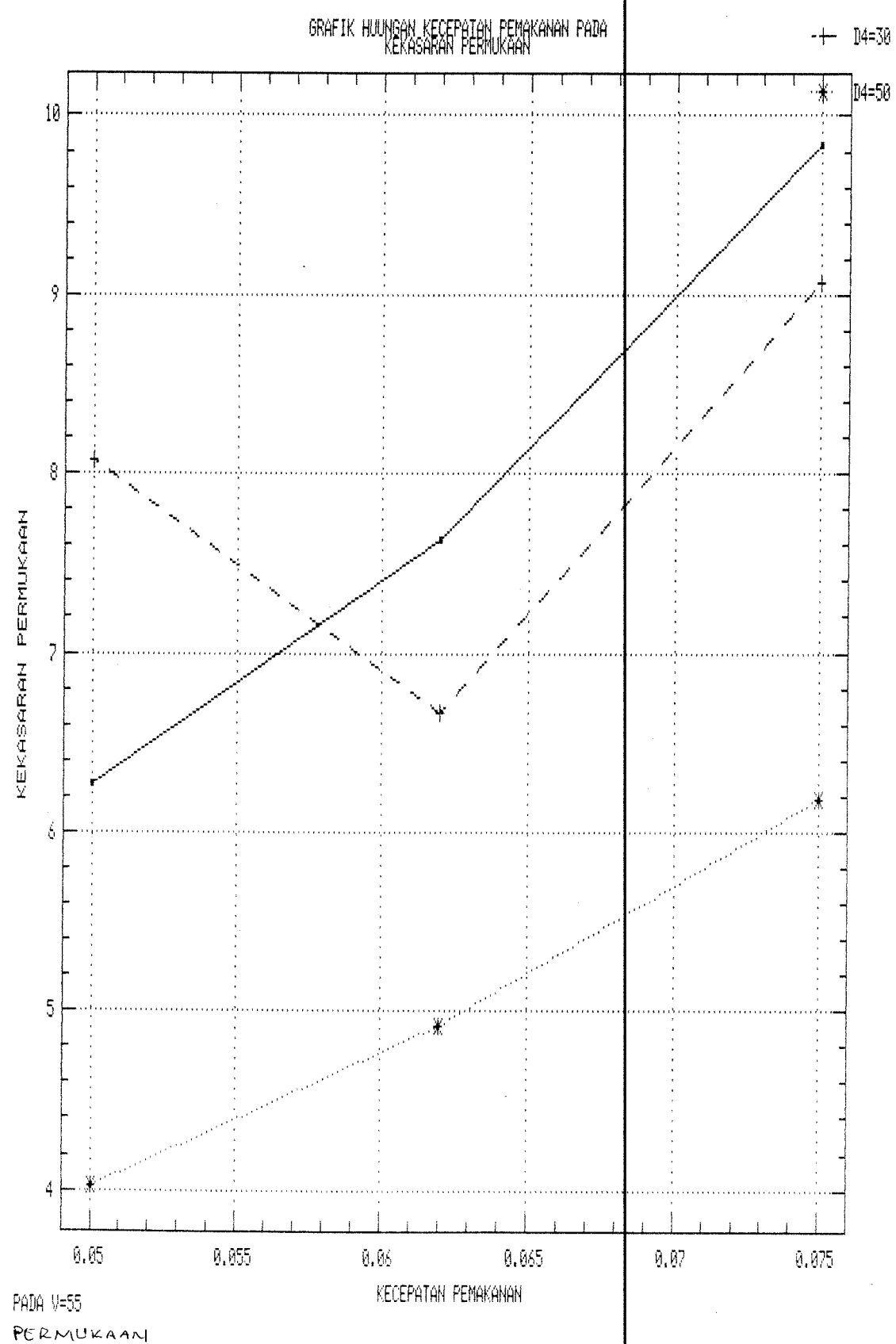


FLOW CHART PENGUKURAN

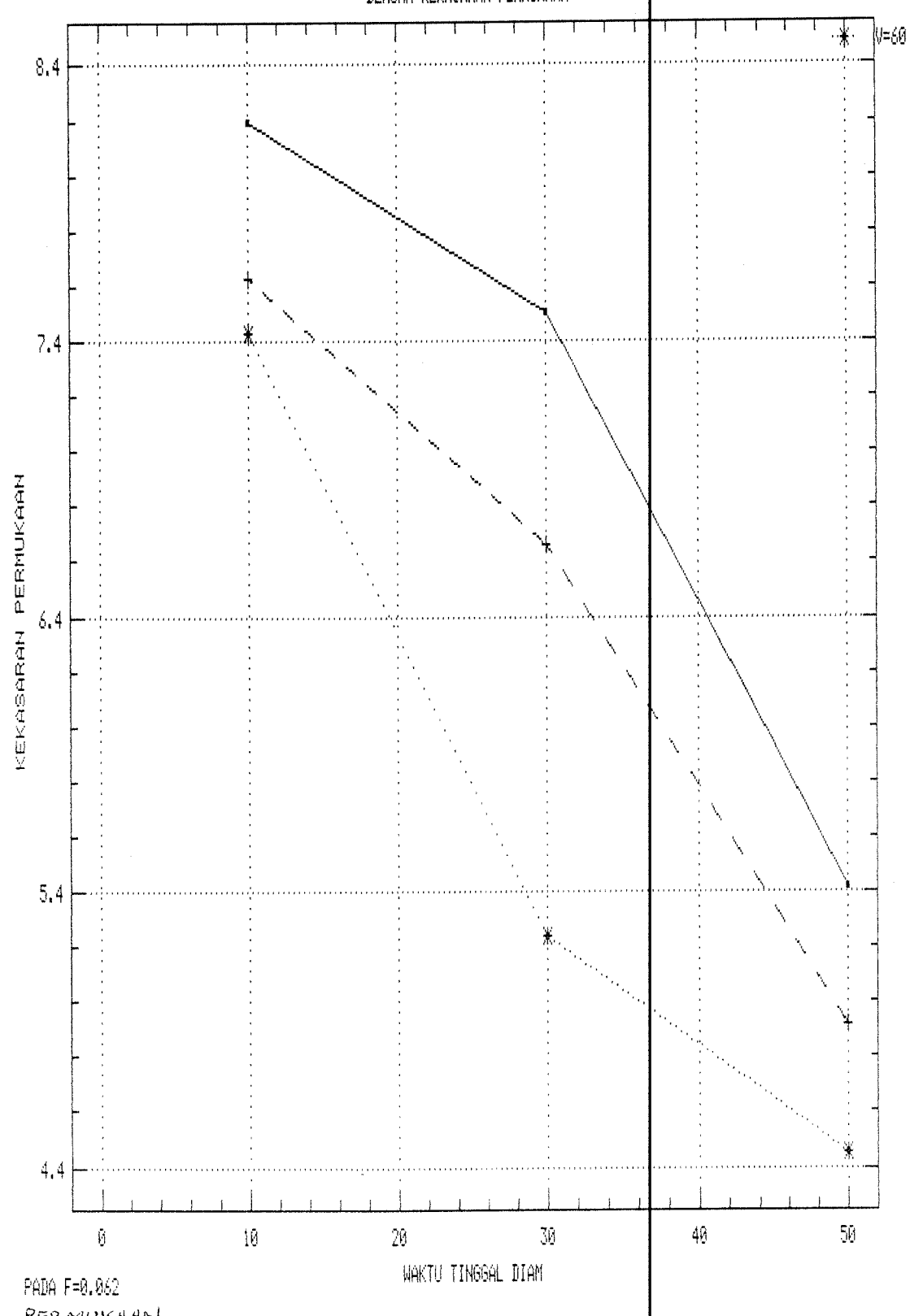


GRAFIK HUBUGAN KECEPATAN POTONG DENGAN
KEKASARAN PERMUKAAN

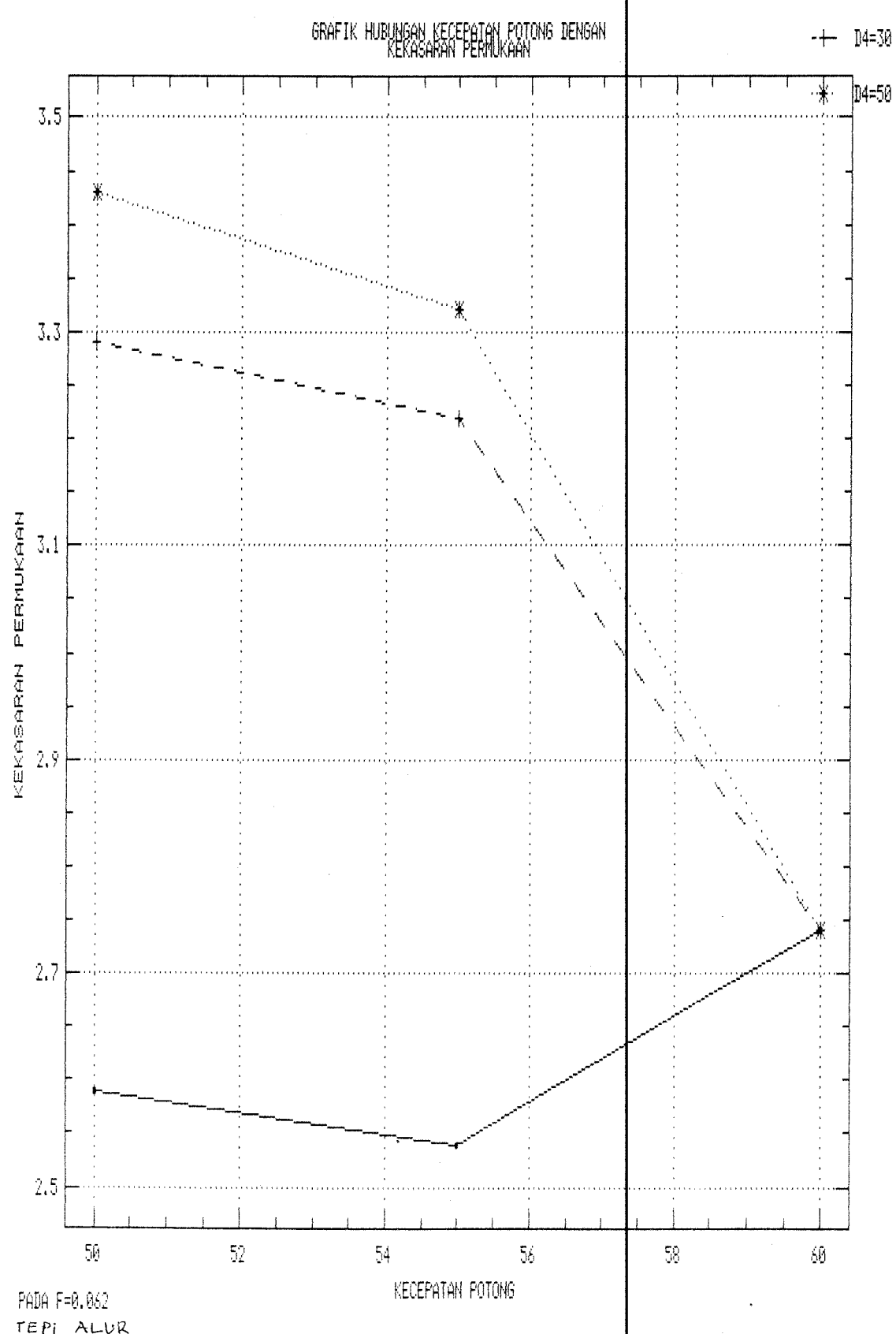




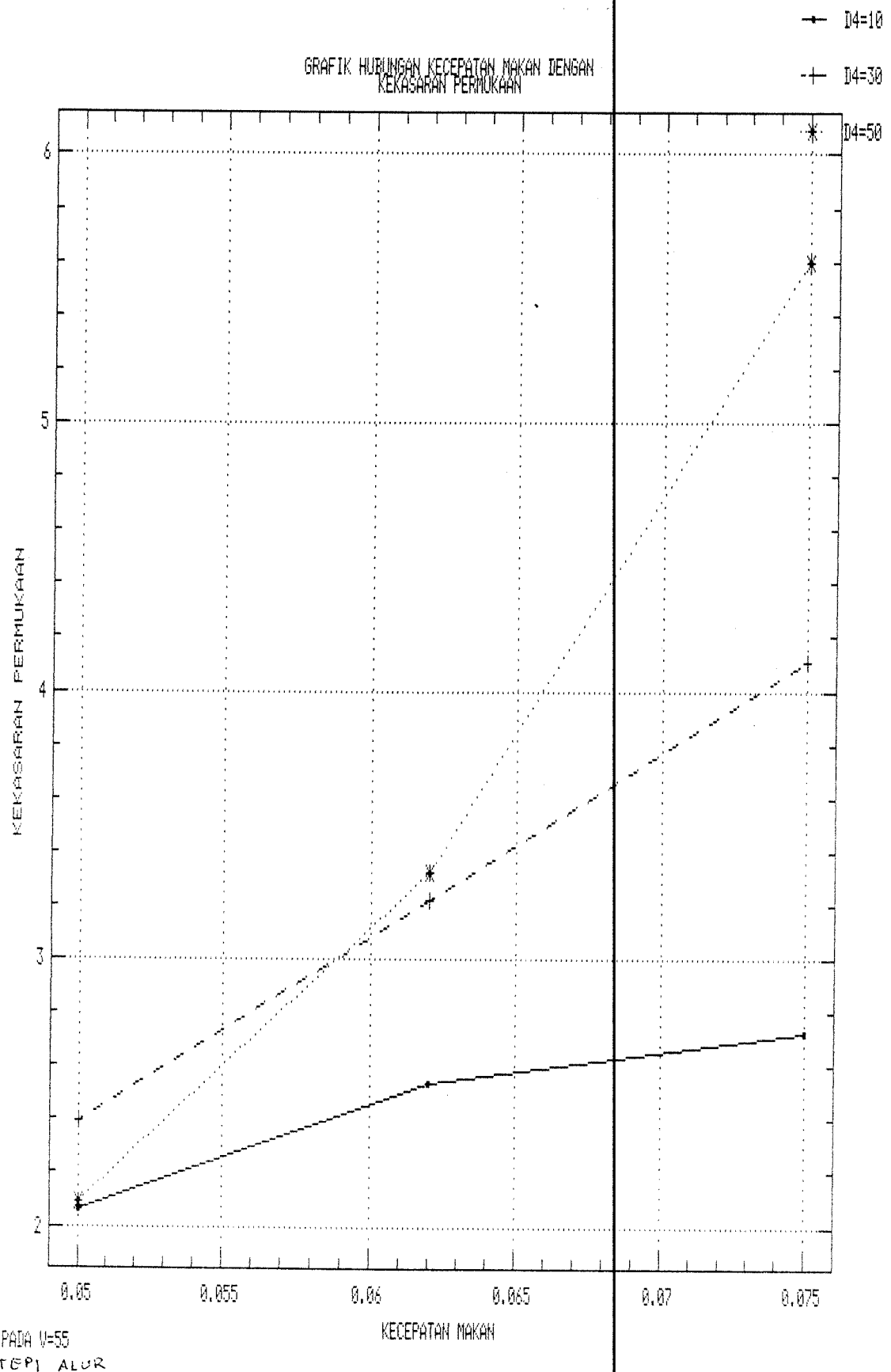
GRAFIK HUBUNGAN WAKTU TINGGAL DIAM
DENGAN KEKASARAHAN PERMUKAAN

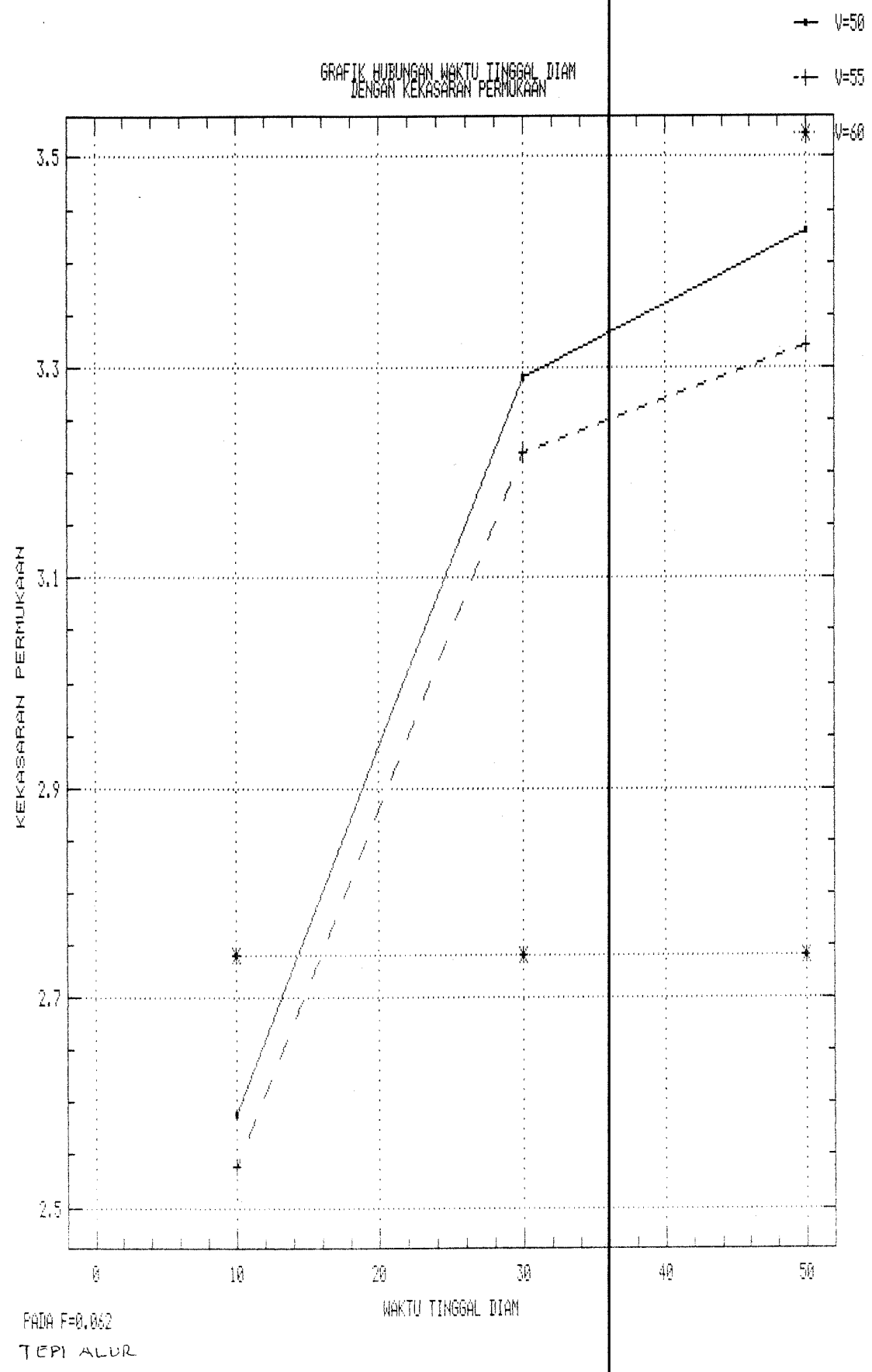


PADA $F=0.062$
PERMUKAAN



GRAFIK HUBUNGAN KECEPATAN MAKAN DENGAN
KEKASARAN PERMUKAAN





PROGRAM DASAR PENGALURAN

N4	G86	X,U ± 43	Z,W ± 43	D ₃ 5	D ₄ 5	D ₅ 5
		(mm)	(mm)	(µm)	(µm)	(µm)

Keterangan :

- N4 Nomor blok program
G86 Siklus pengaluran
X,U Koordinat titik sudut kontur K
Z,W Koordinat titik sudut kontur K
D₃ Penyelaman tiap pemotongan
D₄ Waktu tinggal diam
D₅ Lebar pahat

PROGRAM PENGALURAN PADA PERCOBAAN

N00 G 55 G 92 X 0.000 Z 185.000
N10 G 59
N20 T 0404 G 95 G 96 M 04
N30 G 00 X 27.000 Z -20.000 M 08
N40 G 86 X 18.000 Z -32.000 D₃ = 3500 D₄ = 0 D₅ = 3000 S 50.000
F 50.000
N50 G 00 W -17.000
N60 G 86 X 18.000 Z -49.000 D₃ = 3500 D₄ = 0 D₅ = 3000 S 55.000
F 50.000
N70 G 00 W -17.000
N80 G 86 X 18.000 Z -66.000 D₃ = 3500 D₄ = 0 D₅ = 3000 S 60.000
F 50.000
N90 G 00 W -17.00
N100 G 86 X 18.000 Z -83.000 D₃ = 3500 D₄ = 0 D₅ = 3000 S 50.000
F 62.000
N110 G 00 W -17.000
N120 G 86 X 18.000 Z -100.000 D₃ = 3500 D₄ = 0 D₅ = 3000 S 55.000
F 62.000
N130 G 00 W -17.000
N140 G 86 X 18.000 Z -117.000 D₃ = 3500 D₄ = 0 D₅ = 3000 S 60.000
F 62.000
N150 G 00 W -17.000
N160 G 86 X 18.000 Z -134.000 D₃ = 3500 D₄ = 0 D₅ = 3000 S 50.000
F 75.000
N170 G 00 W -17.000
N180 G 86 X 18.000 Z -151.000 D₃ = 3500 D₄ = 0 D₅ = 3000 S 55.000
F 75.000
N190 G 00 W -17.000
N200 G 86 X 18.000 Z -168.000 D₃ = 3500 D₄ = 0 D₅ = 3000 S 60.000
F 75.000
N210 G 00 X 100.000 Z 100.000
N220 G 53 G 56 T 0000
N230 M 30

POSITION SHIFT OFFSET

	X	Y	X
1	0	0	111.64
2	0	0	137.81
3	0	0	0
4	0	0	0
5	0	0	185

Pembagian kelompok dan status mula dari fungsi-fungsi G

Kelompok 0	*	G00: Gerakan cepat G01: Interpolasi linear G02: Interpolasi melingkar searah jarum jam G03: Interpolasi melingkar dalam lawan arah jarum jam G04: Tinggal diam G33: Pemotongan ulir • G84: Siklus pembubutan memanjang dan melintang • G85: Siklus pemotongan ulir • G86: Siklus pengaluran • G87: Siklus pemboran dengan pemutusan tatai • G88: Siklus pemboran dengan pemutusan tatai dan kembali ke titik awal	
Kelompok 1	**	G96: Kecepatan potong konstan G97: Jumlah putaran konstan	
Kelompok 2	**	G94: Data asutan dalam mm/menit atau 1/100 inchi / menit G95: Data asutan dalam µm / putaran atau 1/0.000 inchi / putaran	
Kelompok 3	**	G53: Pembatalan penggeseran 1 dan 2 G54: Pemanggilan penggeseran 1 G55: Pemanggilan penggeseran 2	
Kelompok 4	*	G92: 1. Pembatasan kecepatan putaran 2. Pemanggilan penggeseran 5	
Kelompok 5	**	G56: Pembatalan penggeseran 3, 4, 5 G57: Pemanggilan penggeseran 3. G58: Pemanggilan penggeseran 4. G59: Pemanggilan penggeseran 5	
Kelompok 6	*	G25: Pemanggilan sub program G26: Pemanggilan program poligon G27: Lompatan tanpa sarat	
Kelompok 7	<input type="checkbox"/> <input checked="" type="checkbox"/>	G70: Data ukuran dalam inchi G71: Data ukuran dalam mm	
Kelompok 8	**	G40: Netralisasi penggeseran jalannya alat potong G41: Penggeseran jalannya alat potong disebelah kiri G42: Penggeseran jalannya alat potong disebelah kanan	

* Efektif secara blok

** Status mula

Status mula yang dapat ditentukan dalam mode monitor pemakai (MON)

Pembagian kelompok dan status mula dari fungsi fungsi M.

•		M03: Putaran sumbu utama searah jarum jam M04: Putaran sumbu utama berlawanan arah jarum jam M05: Sumbu utama berhenti M19: Sumbu utama berhenti tepat
•		M38: Berhenti tepat, aktif M39: Berhenti tepat, batal
•		M00: Berhenti terprogram M17: Sub program berakhir M30: Program berakhir dan kembali keawal program
•		M08: Pendingin hidup M09: Pendingin mati
•		M25: Alat pencekam membuka M26: Alat pencekam menutup
•		M20: Sumbu kepala lepas mundur M21: Sumbu kepala lepas maju
•		M23: Penangkap benda kerja mundur M24: Penangkap benda kerja maju
<input type="checkbox"/>		M50: Pembatalan logik arah revolver pahat <input type="checkbox"/> M51: Pemilihan logik arah revolver pahat
<input type="checkbox"/>		M52: Pembatalan pintu pelindung tatal otomatis <input type="checkbox"/> M53: Pengaktifan pintu pelindung tatal otomatis

• Efektif secara blok

• Status mula

Status mula dapat ditentukan dalam mode Monitor pemakai (MON)

CATATAN: Realisasi dari masing masing fungsi M, disesuaikan dengan perlengkapan perangkat keras masing masing mesin.

Parameter D dalam program

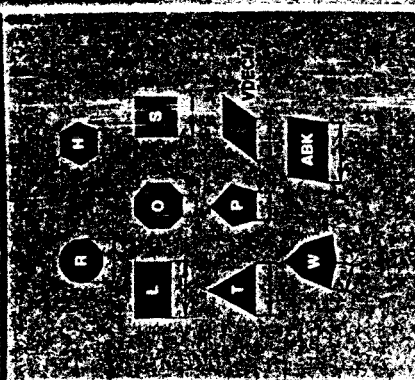
Kemungkinan masukan: 0 - 32.767

Parameter		Default Option
D ₀	G84: Kelebihan ukuran dalam X(U) [μm]	Tak ada kelebihan ukuran dalam X(U)
D ₁	TIDAK TERPAKAI	-----
D ₂	G84: Kelebihan ukuran dalam Z(W) [μm]	Tak ada kelebihan ukuran dalam Z(W)
D ₃	G84: Pembagian pemotongan [μm]	Tak ada pembagian tiap pemotongan
	G85: Parameter mode [μm], []	-----
	G86: Kedalaman tiap pemotongan [μm]	Tak ada kedalaman tiap pemotongan
	G87: Kedalaman pemboran pada pemotongan ke 1 [μm]	Tak ada pembagian pemotongan
	G88: Kedalaman pemboran pada pemotongan ke 1 [μm]	Tak ada pembagian pemotongan
D ₄	G04: Tinggal diam [1/10 detik]	Tak ada tinggal diam
	G85: Jumlah pemotongan kosong []	Jumlah pemotongan kosong yang ditentukan pada monitor pemakai
	G86: Tinggal diam. [1/10 detik]	Tanpa tinggal diam
	G87: Tinggal diam. [1/10 detik]	Tanpa tinggal diam
	G88: Tinggal diam. [1/10 detik]	Tanpa tinggal diam
D ₅	G85: Sudut ulir [°]	Pemakanan masuk tegak lurus
	G86: Lebar pahat [μm]	-----
	G87: Prosentase pengurangan dalamnya pemotongan [%]	Tanpa pengurangan dalamnya pemotongan
	G88: Prosentase pengurangan dalamnya pemotongan [%]	Tanpa pengurangan dalamnya pemotongan
D ₆	G85: Dalamnya ulir [μm]	-----
	G86: Dalamnya pemboran minimal [μm]	Tanpa dalamnya pemboran minimal
	G87: Dalamnya pemboran minimal [μm]	Tanpa dalamnya pemboran minimal
D ₇	G85: Parameter mode []	Lihat G85

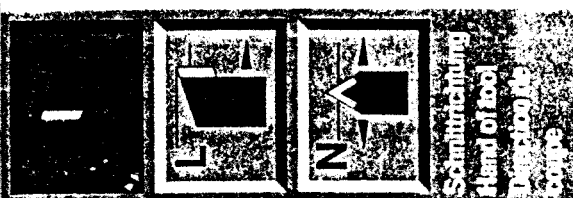
Perhatikanlah parameter D dalam monitor pemakai MON

Adres dan ukuran masukkannya

Adres	metrik	inci
Adres jalannya X, Y absolut	± [mm]	± [inci]
Adres jalannya U, W inkremental	± [mm]	± [inci]
Parameter interpolasi busur melingkar I, K	± [mm]	± [inci]
1. F-Kisar ulir (G33, G85)	[µm]	[1/10000 inci]
2. F-asutan tiap menit (G94)	[mm/men]	[1/100 inci/men]
3. F-asutan tiap putaran (G95)	[µm/put]	[1/10000 inci/put]
1. S-Pemrograman jumlah putaran (G97)	[put/men]	[put/men]
2. S-Pembatasan jumlah putaran (G92)	[put/men]	[put/men]
3. S-Kecepatan potong (G96)	[m/men]	[inci/men]
4. S-Sumbu utama berhenti tepat (M19)	[°]	[°]



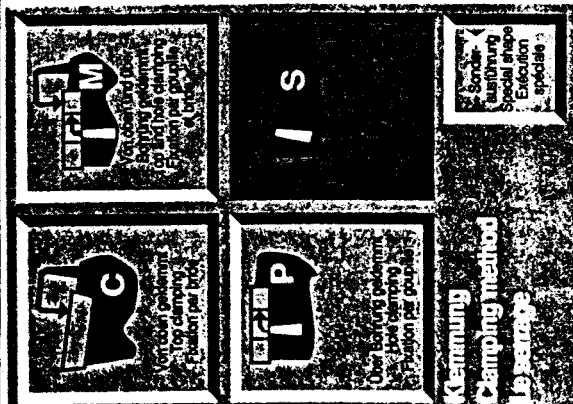
४१



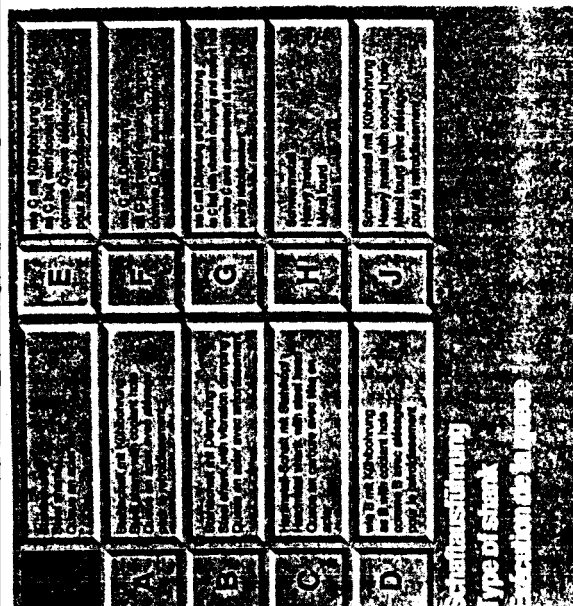
62



Walterform
Style
Proprietary
comics



Meinung
Camping mit
Leidenschaft



Schaffausführung
Type of shank
Exécution de la tige



1



1



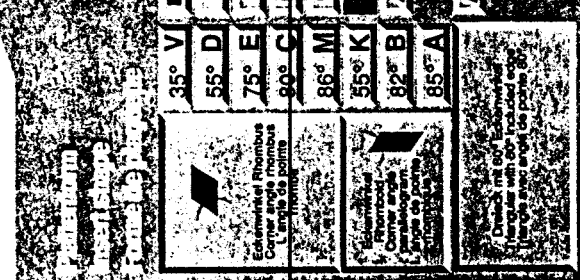
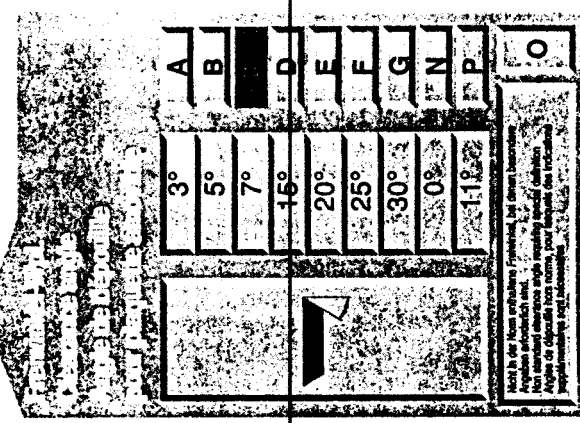
1



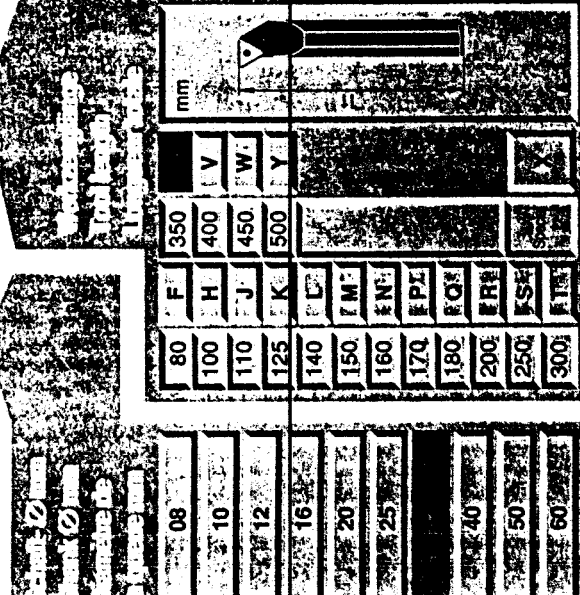
106

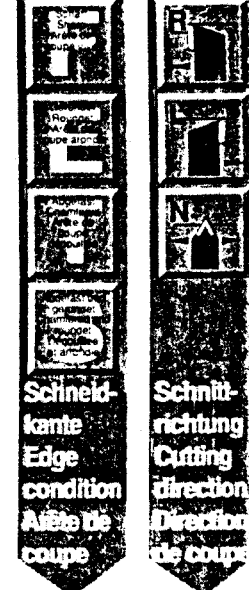
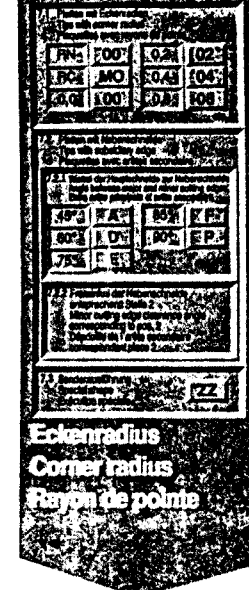
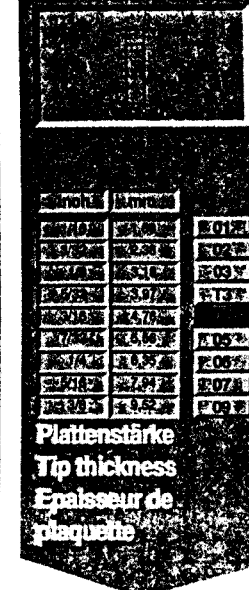
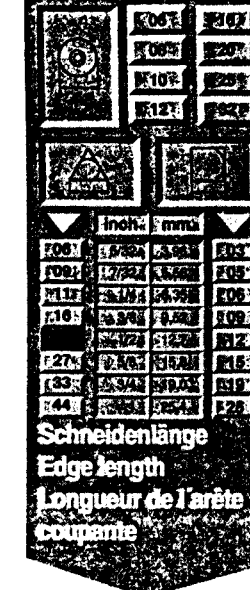
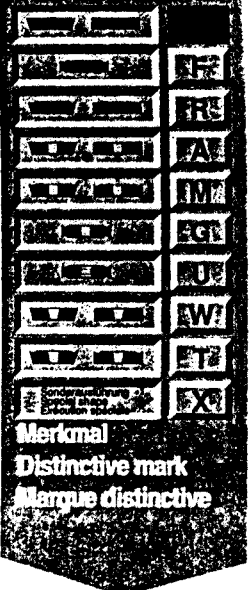
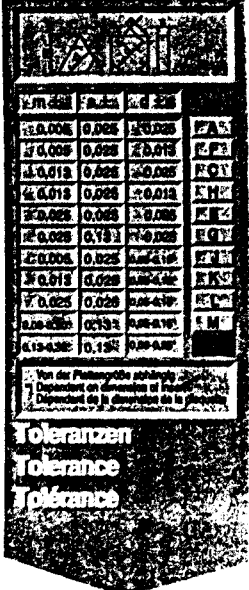
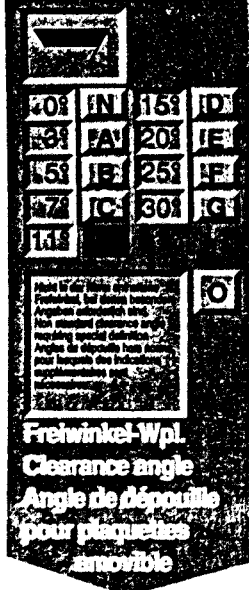
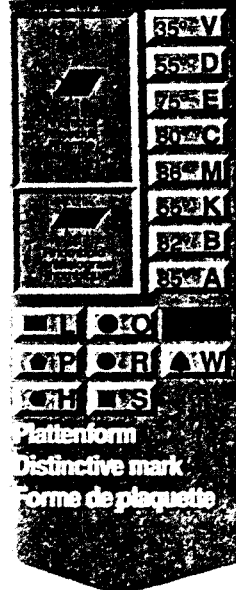


1



10.1002/anie.201907002





T P U N 22 04 12

ASA und BHMA Abweichung gegenüber ISO
ASA and BHMA variation from ISO
Divergences ASA et BHMA envers ISO

4 3 3

Feature of form
Shape distinctive

Symbole wie oben. Änderungen bei $\text{IN} < 1\text{M}$. Symbols as stated above. Alterations on IN smaller than 1M .	
Marques spéciales comme en haut. Modifications au bas intérieur (CI) 2 fois $1/4"$.	
1/4"	1/8"
N	E
F	G
A	D
X	S

4 3 3

Edge length
Longueur de l'arête
Epaisseur de la plaque

inch.	
1/4"	1/2"
3/8"	3/4"
1/2"	5/8"
5/8"	6/8"
3/4"	7/8"
7/8"	1"
1"	1 1/8"

4 3 3

Tip thickness
Épaisseur de la plaque

inch.	
1/16"	1/8"
1/32"	1/16"
3/64"	3/32"
5/64"	5/32"
7/64"	7/32"
9/64"	9/32"
11/64"	11/32"
13/64"	13/32"
15/64"	15/32"
17/64"	17/32"
19/64"	19/32"
21/64"	21/32"
23/64"	23/32"
25/64"	25/32"
27/64"	27/32"
29/64"	29/32"
31/64"	31/32"
33/64"	33/32"
35/64"	35/32"
37/64"	37/32"
39/64"	39/32"
41/64"	41/32"
43/64"	43/32"
45/64"	45/32"
47/64"	47/32"
49/64"	49/32"
51/64"	51/32"
53/64"	53/32"
55/64"	55/32"
57/64"	57/32"
59/64"	59/32"
61/64"	61/32"
63/64"	63/32"
65/64"	65/32"
67/64"	67/32"
69/64"	69/32"
71/64"	71/32"
73/64"	73/32"
75/64"	75/32"
77/64"	77/32"
79/64"	79/32"
81/64"	81/32"
83/64"	83/32"
85/64"	85/32"
87/64"	87/32"
89/64"	89/32"
91/64"	91/32"
93/64"	93/32"
95/64"	95/32"
97/64"	97/32"
99/64"	99/32"
101/64"	101/32"
103/64"	103/32"
105/64"	105/32"
107/64"	107/32"
109/64"	109/32"
111/64"	111/32"
113/64"	113/32"
115/64"	115/32"
117/64"	117/32"
119/64"	119/32"
121/64"	121/32"
123/64"	123/32"
125/64"	125/32"
127/64"	127/32"
129/64"	129/32"
131/64"	131/32"
133/64"	133/32"
135/64"	135/32"
137/64"	137/32"
139/64"	139/32"
141/64"	141/32"
143/64"	143/32"
145/64"	145/32"
147/64"	147/32"
149/64"	149/32"
151/64"	151/32"
153/64"	153/32"
155/64"	155/32"
157/64"	157/32"
159/64"	159/32"
161/64"	161/32"
163/64"	163/32"
165/64"	165/32"
167/64"	167/32"
169/64"	169/32"
171/64"	171/32"
173/64"	173/32"
175/64"	175/32"
177/64"	177/32"
179/64"	179/32"
181/64"	181/32"
183/64"	183/32"
185/64"	185/32"
187/64"	187/32"
189/64"	189/32"
191/64"	191/32"
193/64"	193/32"
195/64"	195/32"
197/64"	197/32"
199/64"	199/32"
201/64"	201/32"
203/64"	203/32"
205/64"	205/32"
207/64"	207/32"
209/64"	209/32"
211/64"	211/32"
213/64"	213/32"
215/64"	215/32"
217/64"	217/32"
219/64"	219/32"
221/64"	221/32"
223/64"	223/32"
225/64"	225/32"
227/64"	227/32"
229/64"	229/32"
231/64"	231/32"
233/64"	233/32"
235/64"	235/32"
237/64"	237/32"
239/64"	239/32"
241/64"	241/32"
243/64"	243/32"
245/64"	245/32"
247/64"	247/32"
249/64"	249/32"
251/64"	251/32"
253/64"	253/32"
255/64"	255/32"
257/64"	257/32"
259/64"	259/32"
261/64"	261/32"
263/64"	263/32"
265/64"	265/32"
267/64"	267/32"
269/64"	269/32"
271/64"	271/32"
273/64"	273/32"
275/64"	275/32"
277/64"	277/32"
279/64"	279/32"
281/64"	281/32"
283/64"	283/32"
285/64"	285/32"
287/64"	287/32"
289/64"	289/32"
291/64"	291/32"
293/64"	293/32"
295/64"	295/32"
297/64"	297/32"
299/64"	299/32"
301/64"	301/32"
303/64"	303/32"
305/64"	305/32"
307/64"	307/32"
309/64"	309/32"
311/64"	311/32"
313/64"	313/32"
315/64"	315/32"
317/64"	317/32"
319/64"	319/32"
321/64"	321/32"
323/64"	323/32"
325/64"	325/32"
327/64"	327/32"
329/64"	329/32"
331/64"	331/32"
333/64"	333/32"
335/64"	335/32"
337/64"	337/32"
339/64"	339/32"
341/64"	341/32"
343/64"	343/32"
345/64"	345/32"
347/64"	347/32"
349/64"	349/32"
351/64"	351/32"
353/64"	353/32"
355/64"	355/32"
357/64"	357/32"
359/64"	359/32"
361/64"	361/32"
363/64"	363/32"
365/64"	365/32"
367/64"	367/32"
369/64"	369/32"
371/64"	371/32"
373/64"	373/32"
375/64"	375/32"
377/64"	377/32"
379/64"	379/32"
381/64"	381/32"
383/64"	383/32"
385/64"	385/32"
387/64"	387/32"
389/64"	389/32"
391/64"	391/32"
393/64"	393/32"
395/64"	395/32"
397/64"	397/32"
399/64"	399/32"
401/64"	401/32"
403/64"	403/32"
405/64"	405/32"
407/64"	407/32"
409/64"	409/32"
411/64"	411/32"
413/64"	413/32"
415/64"	415/32"
417/64"	417/32"
419/64"	419/32"
421/64"	421/32"
423/64"	423/32"
425/64"	425/32"
427/64"	427/32"
429/64"	429/32"
431/64"	431/32"
433/64"	433/32"
435/64"	435/32"
437/64"	437/32"
439/64"	439/32"
441/64"	441/32"
443/64"	443/32"
445/64"	445/32"
447/64"	447/32"
449/64"	449/32"
451/64"	451/32"
453/64"	453/32"
455/64"	455/32"
457/64"	457/32"
459/64"	459/32"
461/64"	461/32"
463/64"	463/32"
465/64"	465/32"
467/64"	467/32"
469/64"	469/32"
471/64"	471/32"
473/64"	473/32"
475/64"	475/32"
477/64"	477/32"
479/64"	479/32"
481/64"	481/32"
483/64"	483/32"
485/64"	485/32"
487/64"	487/32"
489/64"	489/32"
491/64"	491/32"
493/64"	493/32"
495/64"	495/32"
497/64"	497/32"
499/64"	499/32"
501/64"	501/32"
503/64"	503/32"
505/64"	505/32"
507/64"	507/32"
509/64"	509/32"
511/64"	511/32"
513/64"	513/32"
515/64"	515/32"
517/64"	517/32"
519/64"	519/32"
521/64"	521/32"
523/64"	523/32"
525/64"	525/32"
527/64"	527/32"
529/64"	529/32"
531/64"	531/32"
533/64"	533/32"
535/64"	535/32"
537/64"	537/32"
539/64"	539/32"
541/64"	541/32"
543/64"	543/32"
545/64"	545/32"
547/64"	547/32"
549/64"	549/32"
551/64"	551/32"
553/64"	553/32"
555/64"	555/32"
557/64"	557/32"
559/64"	559/32"
561/64"	561/32"
563/64"	563/32"
565/64"	565/32"
567/64"	567/32"
569/64"	569/32"
571/64"	571/32"
573/64"	573/32"
575/64"	575/32"
577/64"	577/32"
579/64"	579/32"
581/64"	581/32"
583/64"	583/32"
585/64"	585/32"
587/64"	587/32"
589/64"	589/32"
591/64"	591/32"
593/64"	593/32"
595/64"	595/32"
597/64"	597/32"
599/64"	599/32"
601/64"	601/32"
603/64"	603/32"
605/64"	605/32"
607/64"	607/32"
609/64"	609/32"
611/64"	611/32"
613/64"	613/32"
615/64"	615/32"
617/64"	617/32"
619/64"	619/32"
621/64"	621/32"
623/64"	623/32"
625/64"	625/32"
627/64"	627/32"
629/64"	629/32"
631/64"	631/32"
633/64"	633/32"
635/64"	635/32"
637/64"	637/32"
639/64"	639/32"
641/64"	641/32"
643/64"	643/32"
645/64"	645/32"
647/64"	647/32"
649/64"	649/32"
651/64"	651/32"
653/64"	653/32"
655/64"	655/32"
657/64"	657/32"
659/64"	659/32"
661/64"	661/32"
663/64"	663/32"
665/64"	665/32"
667/64"	667/32"
669/64"	669/32"
671/64"	671/32"
673/64"	673/32"
675/64"	675/32"
677/64"	677/32"
679/64"	679/32"
681/64"	681/32"
683/64"	683/32"
685/64"	685/32"
687/64"	687/32"</td

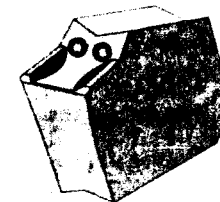
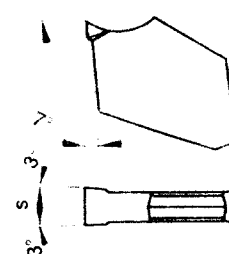
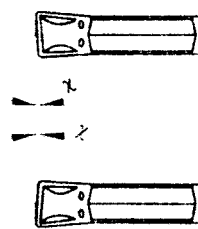
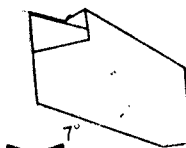
echplatte -FX
m Ab- und Einstechen

Parting off inserts -FX
parting and grooving

Plaquette de tronçonnage
-FX pour le tronçonnage
et le rainurage

R

-27



N

L

stellbezeichnung dering description ref.	mm s	χ	Lager / Stock / Stock					Module Modules Modules	Seite Page Page
			Sr127	Sr137	Gm40	S40T	H10T		
MX22SN-FX		—	X	X	X	X			
MX22SR-FX		4°	X	X	X	X			
MX22SL-FX		4	X	X	X	X		MSS-E..R/L..FX2.2	
MX22FN-FX-27		—					X		
MX31SN-FX		—	X	X	X	X			
MX31SR-FX		6°	X	X	X	X			
MX31SL-FX		6°	X	X	X	X		MSS-E..R/L..FX3.1	
MX31FN-FX-27		—					X		
MX41SN-FX		—	X	X	X	X			
MX41SR-FX		6°	X	X	X	X			
MX41SL-FX		6°	X	X	X	X		MSS-E..R/L..FX4.1	
MX41FN-FX-27		—					X		
MX51SN-FX		—	X	X	X	X			
MX51SR-FX		6°	X	X	X	X		MSS-E..R/L..FX5.1	
MX51SL-FX		6°	X	X	X	X			
MX65SN-FX		—	X	X	X	X			
MX65SR-FX		6°	X	X	X	X		MSS-E..R/L..FX6.5	
MX65SL-FX		6°	X	X	X	X			
MX82SN-FX	8,2	—	X	X	X	X			—
MX97SN-FX	9,7	—	X	X	X	X			—

Beispiel:
tk. LEMX22SN-FX Sr127

Ordering example:
10 pcs. LEMX22SN-FX Sr127

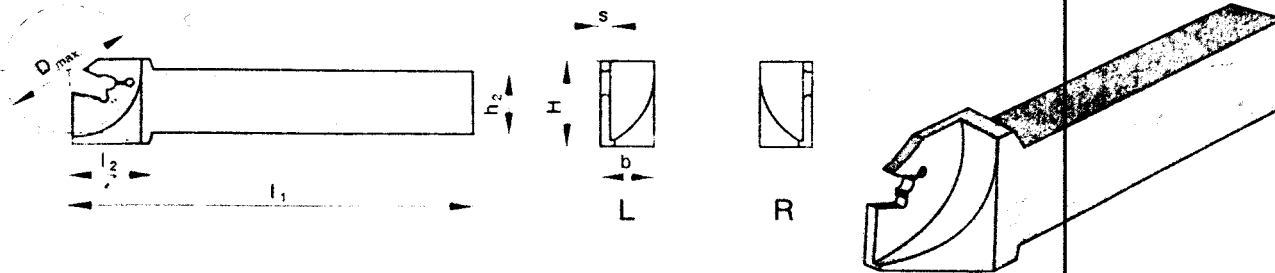
Exemple de commande:
10 pièces LEMX22SN-FX Sr127

internationales TIZIT-Programm,
aktuelle Liefermöglichkeit siehe
Preisliste

x = International TIZIT-range, for
availability refer the current price list

x = Programme international TIZIT, pour
disponibilité de stock actuel voir tarif

PLANSEE



Zeichnung zeigt Linksausführung
Drawing illustrates left hand execution
Le dessin représente l'exécution à gauche

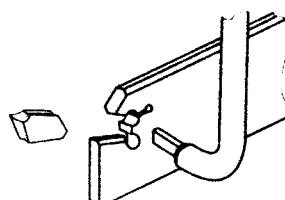
teilbezeichnung Parting description ref.	mm								Stechplatten Parting inserts Plaquettes de tronçonnage	Seite Page Page
	$h_1=h_2$	b	l_1	l_2	H	s	$D_{max.}$			
ER/L1010M22-FX	10	10	150	19,4						
ER/L1212F22-FX	12	12	80	21,0						
ER/L1212M22-FX		12			21	2,2	30	LEMX22	-FX	
ER/L1414M22-FX	14	14	150	19,4						
ER/L1612H22-FX	16	12	100	21,0						34
FR/L1612H31-FX	16	12	100	21,4	25		30			35
FR/L2016K31-FX	20	16	125	26,4	26	3,1	40	LFMX31	-FX	
FR/L2520M31-FX	25	20	150	35,2	34		50			
FR/L2016K41-FX	20	16	125	26,4	26		40	LFMX41	-FX	
FR/L2520M41-FX	25	20	150	35,2	34	4,1	50			

Beispiel:
XL CER1010M22-FX

Ordering example:
1 pc. XL CER1010M22-FX

Exemple de commande:
1 pièce XL CER1010M22-FX

zuteile und Zubehör parts and accessories des de recharge	Auswerfer Ejector-key Clé à poignée
k / pc. / pièce	1
ER/L1010M22-FX	
ER/L1212F22-FX	
ER/L1212M22-FX	78 02 180
ER/L1414M22-FX	
ER/L1612H22-FX	
FR/L1612H31-FX	
FR/L2016K31-FX	
520M31-FX	78 02 181
16K41-FX	
0M41-FX	



Auswerfer zum Wechseln des Schneideinsatzes.

Ejector-key for cutting inserts.

Clé à poignée pour éjecter la plaquette de coupe.

ISO

Coromant carbide grades for turning

			Basic grades	Supplementary grades	Grades for special application
P	<p>Steel, cast steel, long chipping malleable iron</p> <p>Basic grades</p> <p>S1P Finishing and light roughing of steel and steel castings. High cutting speed, high wear resistance. Best overall surface finish. Suitable for casting, heat treated steel.</p> <p>P10 P10 Finishing and light roughing of steel castings. High cutting speed, medium wear resistance. Good overall surface finish. Suitable for casting, heat treated steel.</p> <p>GC015 Finishing and light roughing of steel, cast steel, stainless steel, malleable iron and long chipping malleable cast iron. The extremely high wear resistance permits very high metal removal rates. Very good surface finish.</p> <p>P25 P20 P20 P40 Medium to heavy roughing of steel, steel castings, stainless steel and malleable iron. Can be used under unfavourable conditions. Comparative high cutting speed and feed rates, high wear resistance. All round grade for most applications.</p> <p>Supplementary grades</p> <p>GC1025 Light and medium roughing of steel, steel castings, stainless steel, malleable iron. High cutting speed and resistance, high feed. Very high wear resistance.</p> <p>P20 P30 Heavy roughing of steel, stainless steel, and steel castings. Difficult conditions (low cutting speed, heavy feed, large cutting depth).</p> <p>Grades for special applications</p> <p>P02 Finishing of steel and steel castings. Stable dimensions. Very high cutting speed, low feed.</p> <p>P01 Finishing and light roughing of steel and steel castings. Less favourable conditions. Moderate cutting speed and feed. Suitable for copying.</p> <p>S2 Medium to heavy roughing of steel and steel castings. Unfavourable conditions. Moderate cutting speed, feed, low wear resistance.</p> <p>P30 P40</p> <p>R4 Heavy roughing of steel and steel castings. Very difficult conditions (low cutting speed, heavy feed).</p>				
M	<p>Steel, cast steel, manganese steel, alloy cast iron, austenitic steels, malleable iron, free-cutting steel</p> <p>Basic grades</p> <p>R1P Finishing and light roughing of high temperature alloys and stainless steel such as nuclear reactor components. High resistance to notch wear. Comparative high cutting speed, moderate feed.</p> <p>P10 M10 M20 Finishing and medium roughing of rolled or forged stainless steel. Operates at comparatively high cutting speed.</p> <p>GC015 M20 M10 M20 Finishing and light roughing of heat resistant alloys. High cutting edge strength. Relatively high cutting speed and moderate feed, high wear resistance.</p> <p>GC315 M10 M20 M20 Finishing and light roughing of austenitic stainless steels and stainless steel with rolling or casting over. The best difficult machining conditions.</p> <p>R4 M40 Finishing and roughing of austenitic stainless steel, stainless and stainless steel with difficult rolling or casting over. Low cutting speed, heavy feed. Very resistant to impact or shock, when interrupted machining.</p> <p>Supplementary grades</p> <p>GC135 P20 M10 M20 M20 Light and heavy roughing of rolled or forged stainless steel with an austenitic structure. Comparative high cutting speed and feed. Suitable for certain types of free cutting steels.</p> <p>S2 P40 M20 M20 Light and rough machining of austenitic stainless steels and stainless materials with rolling or casting over. The best difficult machining conditions.</p> <p>Grade for special applications</p> <p>SH M20 M10 M20 M20 Heavy roughing of steel and steel castings. Non-ductile, poor ductile cast iron with a long chipping tendency. Not suitable for re-turning of railway wheels.</p> <p>H20 M20 M20 M20 Light and rough machining of heat resistant alloys, steel for difficult machining conditions. High cutting edge strength.</p>				
K	<p>Cast iron, chilled cast iron, sheet, short chipping malleable iron, hardened steel, non ferrous metals, plastics, wood</p> <p>Basic grades</p> <p>R1P Finishing and light roughing of cast iron, chilled cast iron, bronze and brass. Relatively high cutting speed, moderate feed.</p> <p>P10 P10 P10 Finishing and light roughing of high carbon and malleable cast iron. Excellent wear resistance, especially at very high metal removal rates. The best results with high undershoot temperatures.</p> <p>GC015 P10 P10 P10 Finishing and light roughing of high carbon and malleable cast iron. Excellent wear resistance, especially at very high metal removal rates. The best results with high undershoot temperatures.</p> <p>GC315 P10 P10 P10 Medium to high feed machining cast iron or chipping malleable cast iron. Comparative high cutting speed, heavy feed, high wear resistance.</p> <p>Supplementary grades</p> <p>GC1025 P20 P10 P10 Light and medium roughing of primarily non-ferrous metals, plastics and wood. High cutting speed, high wear resistance.</p> <p>L4 Heavy machining of cast iron. High undershoot temperatures, high cutting speed, heavy feed.</p> <p>H20 P20 P10 Heavy machining of cast iron. High undershoot temperatures, high cutting speed, heavy feed.</p> <p>Grade for special applications</p> <p>H10 Finishing of cast iron. Suitable for standard cast iron.</p> <p>H20 Chilled cast iron.</p> <p>H30 Hardened steel, non-ferrous metals.</p>				

PENJELASAN TABEL :

- P 01 : Dipakai untuk finishing pada baja dan baja tuang dalam kondisi yang stabil.
Kecepatan potong sangat tinggi dengan feed yang lambat.
- P 10, P 20 : Digunakan pada pembubutan ringan dan sedang untuk baja dan baja tuang pada kondisi yang kurang menguntungkan. Medium cutting speed dan medium feed.
- P 30, P40 : Dipakai untuk pembubutan sedang dan berat pada baja dan baja tuang pada kondisi tidak menguntungkan. Medium cutting speed dengan feed berat.
- P 50 : Dipakai untuk membubut baja atau baja tuang dengan kondisi sulit. Medium cutting speed dengan feed sangat berat.
- K 01 : Dipakai untuk pembubutan halus untuk material non metal dengan sifat abrasive yang tinggi.

- K 05 : Dipakai pada pembubutan cast iron yang terdapat chilled.
- K 10 : Dipakai pada pembubutan dan threading material cor, non ferrous, fibber, plastik, hard paper, bronze, graphite.
- K 15 : Digunakan pada pembubutan cash iron dengan cutting speed sedang dan tinggi.
Digunakan untuk finishing dan pembubutan ringan.
- K 20, K 30 : Dipakai untuk pembubutan cast iron yang berat pada kondisi yang tidak menguntungkan. Kecepatan potong yang rendah dengan feed yang berat.

Sebaran-F. Tingkat 5% Atas [$F(v_1, v_2, 0.95)$]
Derajat Bebas bagi Pembilang

	1	2	3	4	5	6	7	8	9	10	11	12	13	14	15	16	17	18	19	20	21	22	23	24	25	26	27	28	29	30	31	32	33	34	35	36	37	38	39	40	41	42	43	44	45	46	47	48	49	50																																																																																																																																																																																																																																																																																																																																																																																																																																																																																																																																																																																																
1	1.614	1.993	2.157	2.246	2.302	2.349	2.388	2.425	2.459	2.491	2.519	2.549	2.579	2.607	2.636	2.665	2.694	2.723	2.752	2.781	2.809	2.838	2.867	2.895	2.924	2.952	2.981	3.009	3.037	3.065	3.093	3.121	3.149	3.177	3.205	3.233	3.261	3.289	3.317	3.345	3.373	3.401	3.429	3.457	3.485	3.513	3.541	3.569	3.597	3.625	3.653	3.681	3.709	3.737	3.765	3.793	3.821	3.849	3.877	3.905	3.933	3.961	3.989	4.017	4.045	4.073	4.101	4.129	4.157	4.185	4.213	4.241	4.269	4.297	4.325	4.353	4.381	4.409	4.437	4.465	4.493	4.521	4.549	4.577	4.605	4.633	4.661	4.689	4.717	4.745	4.773	4.801	4.829	4.857	4.885	4.913	4.941	4.969	4.997	5.025	5.053	5.081	5.109	5.137	5.165	5.193	5.221	5.249	5.277	5.305	5.333	5.361	5.389	5.417	5.445	5.473	5.501	5.529	5.557	5.585	5.613	5.641	5.669	5.697	5.725	5.753	5.781	5.809	5.837	5.865	5.893	5.921	5.949	5.977	6.005	6.033	6.061	6.089	6.117	6.145	6.173	6.201	6.229	6.257	6.285	6.313	6.341	6.369	6.397	6.425	6.453	6.481	6.509	6.537	6.565	6.593	6.621	6.649	6.677	6.705	6.733	6.761	6.789	6.817	6.845	6.873	6.901	6.929	6.957	6.985	7.013	7.041	7.069	7.097	7.125	7.153	7.181	7.209	7.237	7.265	7.293	7.321	7.349	7.377	7.405	7.433	7.461	7.489	7.517	7.545	7.573	7.601	7.629	7.657	7.685	7.713	7.741	7.769	7.797	7.825	7.853	7.881	7.909	7.937	7.965	7.993	8.021	8.049	8.077	8.105	8.133	8.161	8.189	8.217	8.245	8.273	8.301	8.329	8.357	8.385	8.413	8.441	8.469	8.497	8.525	8.553	8.581	8.609	8.637	8.665	8.693	8.721	8.749	8.777	8.805	8.833	8.861	8.889	8.917	8.945	8.973	9.001	9.029	9.057	9.085	9.113	9.141	9.169	9.197	9.225	9.253	9.281	9.309	9.337	9.365	9.393	9.421	9.449	9.477	9.505	9.533	9.561	9.589	9.617	9.645	9.673	9.701	9.729	9.757	9.785	9.813	9.841	9.869	9.897	9.925	9.953	9.981	10.009	10.037	10.065	10.093	10.121	10.149	10.177	10.205	10.233	10.261	10.289	10.317	10.345	10.373	10.401	10.429	10.457	10.485	10.513	10.541	10.569	10.597	10.625	10.653	10.681	10.709	10.737	10.765	10.793	10.821	10.849	10.877	10.905	10.933	10.961	10.989	11.017	11.045	11.073	11.101	11.129	11.157	11.185	11.213	11.241	11.269	11.297	11.325	11.353	11.381	11.409	11.437	11.465	11.493	11.521	11.549	11.577	11.605	11.633	11.661	11.689	11.717	11.745	11.773	11.801	11.829	11.857	11.885	11.913	11.941	11.969	11.997	12.025	12.053	12.081	12.109	12.137	12.165	12.193	12.221	12.249	12.277	12.305	12.333	12.361	12.389	12.417	12.445	12.473	12.501	12.529	12.557	12.585	12.613	12.641	12.669	12.697	12.725	12.753	12.781	12.809	12.837	12.865	12.893	12.921	12.949	12.977	13.005	13.033	13.061	13.089	13.117	13.145	13.173	13.201	13.229	13.257	13.285	13.313	13.341	13.369	13.397	13.425	13.453	13.481	13.509	13.537	13.565	13.593	13.621	13.649	13.677	13.705	13.733	13.761	13.789	13.817	13.845	13.873	13.901	13.929	13.957	13.985	14.013	14.041	14.069	14.097	14.125	14.153	14.181	14.209	14.237	14.265	14.293	14.321	14.349	14.377	14.405	14.433	14.461	14.489	14.517	14.545	14.573	14.601	14.629	14.657	14.685	14.713	14.741	14.769	14.797	14.825	14.853	14.881	14.909	14.937	14.965	14.993	15.021	15.049	15.077	15.105	15.133	15.161	15.189	15.217	15.245	15.273	15.301	15.329	15.357	15.385	15.413	15.441	15.469	15.497	15.525	15.553	15.581	15.609	15.637	15.665	15.693	15.721	15.749	15.777	15.805	15.833	15.861	15.889	15.917	15.945	15.973	16.001	16.029	16.057	16.085	16.113	16.141	16.169	16.197	16.225	16.253	16.281	16.309	16.337	16.365	16.393	16.421	16.449	16.477	16.505	16.533	16.561	16.589	16.617	16.645	16.673	16.701	16.729	16.757	16.785	16.813	16.841	16.869	16.897	16.925	16.953	16.981	17.009	17.037	17.065	17.093	17.121	17.149	17.177	17.205	17.233	17.261	17.289	17.317	17.345	17.373	17.401	17.429	17.457	17.485	17.513	17.541	17.569	17.597	17.625	17.653	17.681	17.709	17.737	17.765	17.793	17.821	17.849	17.877	17.905	17.933	17.961	17.989	18.017	18.045	18.073	18.101	18.129	18.157	18.185	18.213	18.241	18.269	18.297	18.325	18.353	18.381	18.409	18.437	18.465	18.493	18.521	18.549	18.577	18.605	18.633	18.661	18.689	18.717	18.745	18.773	18.801	18.829	18.857	18.885	18.913	18.941	18.969	19.007	19.035	19.063	19.091	19.119	19.147	19.175	19.203	19.231	19.259	19.287	19.315	19.343	19.371	19.409	19.437	19.465	19.493	19.521	19.549	19.577	19.605	19.633	19.661	19.689	19.717	19.745	19.773